

شیمی کانی، دما-فشارسنگی، خاستگاه و جایگاه زمین‌ساختی توده نفوذی نوکه در شمال سمنان (ایران مرکزی)

سعید کامران^۱، احمد احمدی خلجی^{*}^۱، مهدی رضائی کهخائی^۲، زهرا طهماسبی^۱

۱- گروه زمین‌شناسی، دانشکده علوم پایه، دانشگاه لرستان، خرم‌آباد، ایران

۲- گروه پetroلئوئی و زمین‌شناسی اقتصادی، دانشکده علوم زمین، دانشگاه صنعتی شاهrood، شاهrood، ایران

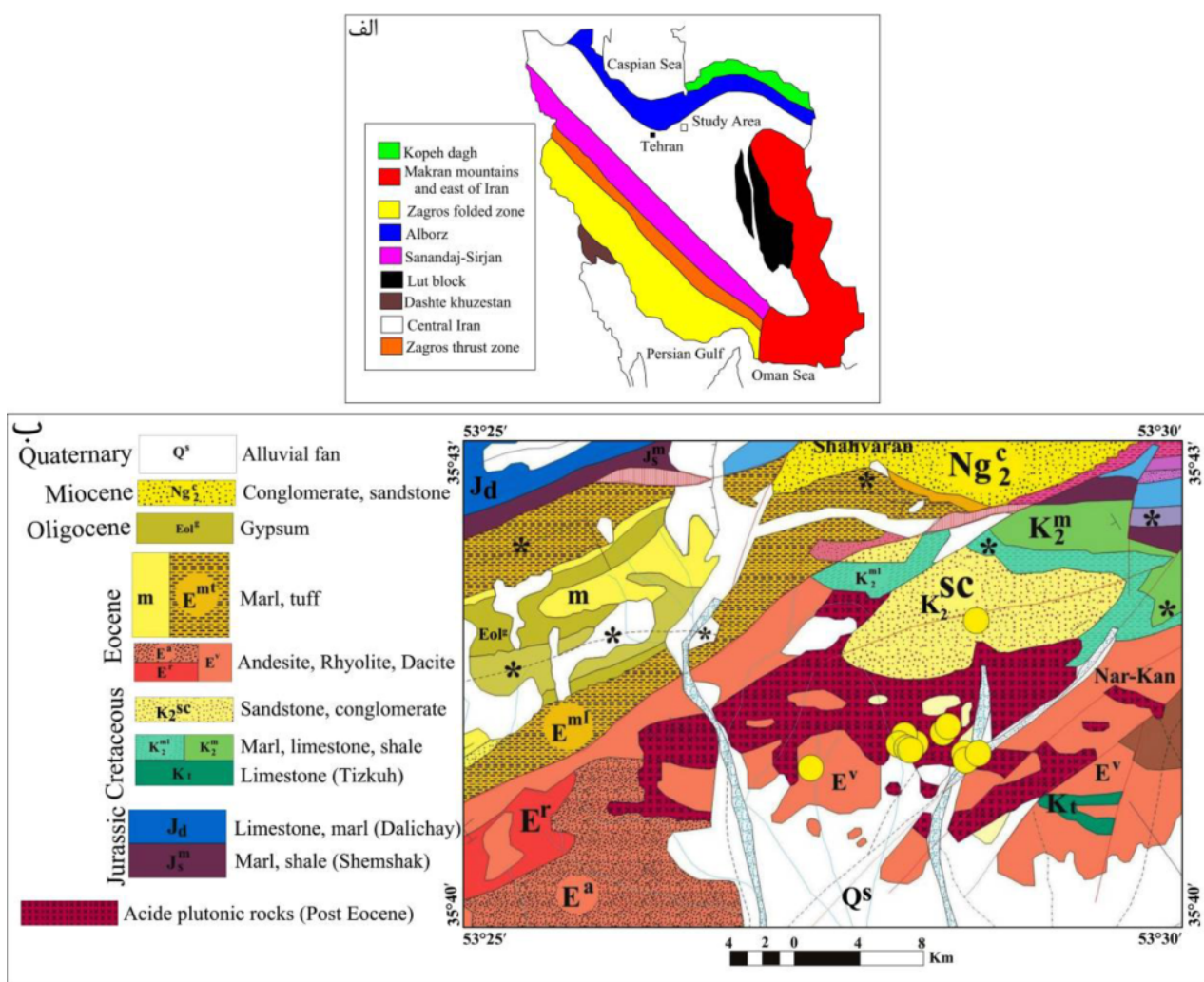
(دریافت مقاله: ۹۷/۶/۱۸، نسخه نهایی: ۹۷/۱۰/۲۶)

چکیده: توده نفوذی نوکه در شمال شهرستان سمنان رخمنون دارد. این توده با ترکیب مونزونیت-کوارتز مونزونیت و گرانیت-گرانوپدیوریت، درون توفهای آهکی اوسن نفوذ کرده و براثر دگرگونی مجاورتی باعث تشکیل اسکارن آهن‌دار (از نوع مگنتیت) درون آن‌ها شده است. پلازیوکلاز، ارتوکلاز، کوارتز، بیوتیت، آمفیبول و کلینوپیروکسن کانی‌های سازنده توده نفوذی نوکه هستند. بافت اصلی این سنگ‌ها دانه‌ای است و بافت‌های گرانوفیری و میرمکیتی نیز از بافت‌های فرعی مهم در این سنگ‌ها به شمار می‌روند. از دیدگاه زمین‌شیمیایی، توده نفوذی نوکه متاآلومین تا پرآلومین بوده و از سری ماگمایی نیمه قلیایی و آهکی قلیایی و نوع I است. داده‌های به دست آمده از تجزیه نقطه‌ای نشان می‌دهد که کلینوپیروکسن‌ها از نوع دیوپسید، آمفیبول‌ها از نوع ادنیت، بیوتیت‌ها از نوع منیزیم‌دار و پلازیوکلازها از نوع الیگوکلاز تا لابرادوریت هستند. همچنین کلینوپیروکسن‌ها در دمای حدود ۱۱۰ تا ۱۱۶°C دارای حدود ۷۰۰°C، بیوتیت‌ها در دمای بالای ۸۰۰°C و پلازیوکلازها در دمای کمتر از ۷۰۰ درجه سانتیگراد تشکیل شده‌اند. ماهیت آهکی قلیایی هر سه کانی کلینوپیروکسن، آمفیبول و بیوتیت، مقدار اندک عنصر تیتانیوم و غنی‌شدگی از عناصر کلسیم و سیلیسیم در ترکیب کلینوپیروکسن و تشکیل آمفیبول در یک محیط با گریزندگی اکسیژن بالا، همه نشانگر تشکیل توده نفوذی نوکه در محیط زمین‌ساختی کمان آتش‌فشنایی کرانه فعال قاره هستند. بر پایه نمودارهای شناسایی جایگاه زمین‌ساختی، نمونه‌های توده نفوذی بررسی شده در گستره کمان آتش‌فشنایی برآمده از فرورانش سنگ‌کرده اقیانوسی نئوتیس به زیر سنگ کرده قاره‌ای ایران مرکزی جای گرفته‌اند.

واژه‌های کلیدی: گرانیت‌نئوئید؛ شیمی کانی؛ دما-فشارسنگی؛ متاآلومین؛ نوع I؛ کمان آتش‌فشنایی؛ نوکه؛ سمنان.

گرانیت‌نئوئیدی نوکه به درون توفهای آهکی اوسن تشکیل شده‌اند. با توجه به اینکه منطقه مورد بررسی میان دو پهنه ایران مرکزی و البرز مرکزی قرار گرفته و دو فرضیه کرانه فعال قاره‌ای و حوضه پشت قوس برای این منطقه مطرح شده است و تاکنون پژوهشی در ارتباط با شیمی کانی و دما-فشارسنگی این توده نفوذی انجام نگرفته است، در این پژوهش با استفاده از نتایج مطالعات صحرایی، سنگنگاری و زمین‌شیمیایی، خاستگاه و محیط زمین‌ساختی توده نفوذی نوکه بررسی می‌شود.

مقدمه
توده نفوذی مورد بررسی در شمال شهر سمنان قرار دارد. بر پایه پهنه‌بندی زمین‌ساختاری [۱]، منطقه سمنان در پهنه ایران مرکزی قرار می‌گیرد (شکل ۱ الف). صمدی [۲] توده‌های نفوذی منطقه را برآمده از نظریه فرورانش نئوتیس و سرانجام برخورد دو قطعه ایران و عربستان می‌داند. شاه حسینی [۳] با توجه به جایگاه زمین‌شناسی منطقه، فرضیه فرورانش را بعيد می‌داند و یک موقعیت حوضه پشت قوس را که در مراحل اولیه تکاملی خود قرار دارد در نظر می‌گیرد. قیاسوند [۴] معتقد است که معادن اسکارن آهن شمال سمنان در اثر نفوذ توده

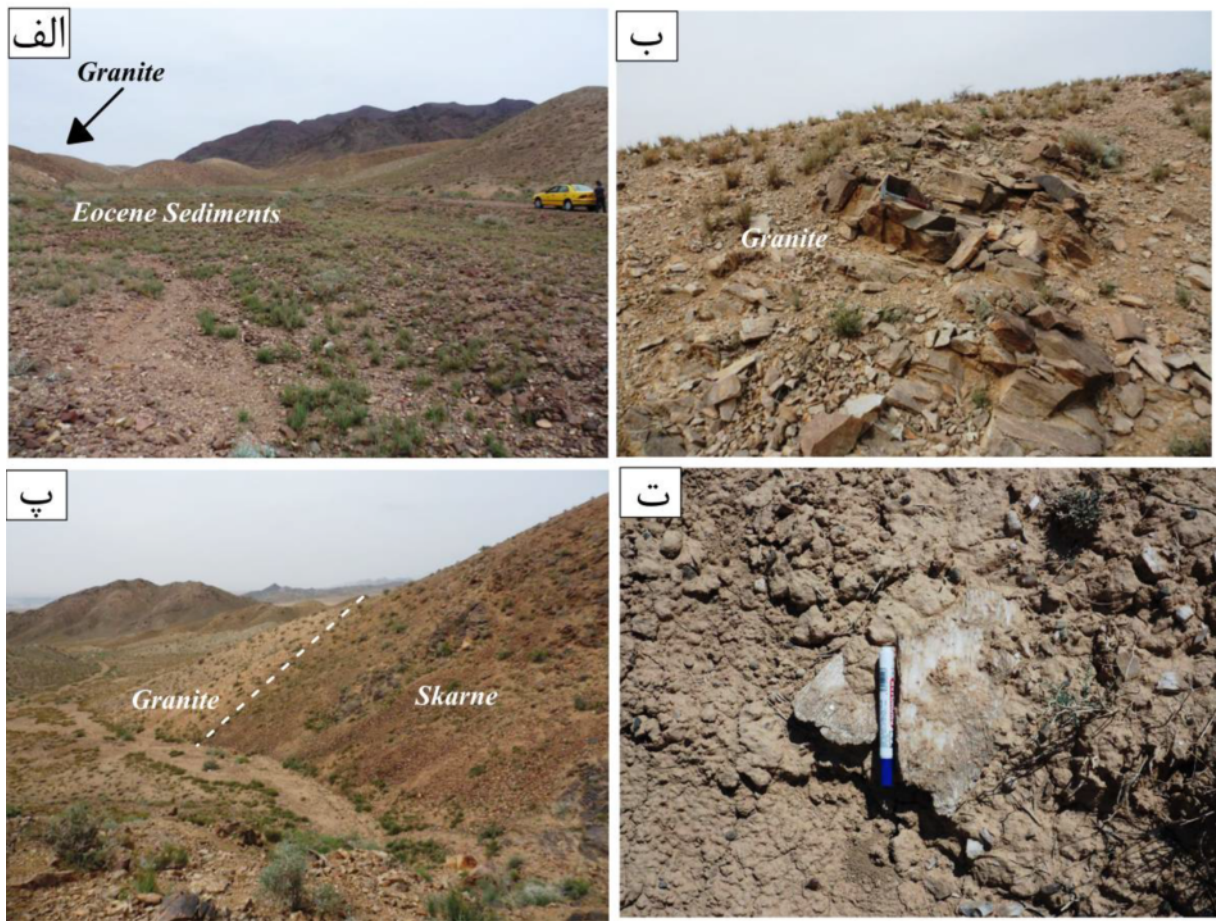


شکل ۱ (الف) جایگاه منطقه نوکه (شمال سمنان) در نقشه پهنه‌بندی زمین‌ساختی ایران برگرفته از مرجع [۱] و (ب) نقشه زمین‌شناسی منطقه نوکه، برگرفته از نقشه زمین‌شناسی ۱:۱۰۰۰۰۰ سمنان [۹].

این مجموعه آتشفسانی-رسوبی نفوذ کرده و در اثر دگرگونی مجاورتی باعث تشکیل اسکارن آهن از نوع مگنتیت درون آنها شده است (شکل‌های ۲ الف تا پ). افزون بر این، گاهی دایک‌هایی با ترکیب شیمیایی تراکی بازالت و تراکی آندزیت بازالتی با روند تقریبی شمالی-جنوبی و ضخامت کمتر از ۲ متر واحدهای سنگی یاد شده را قطع می‌کنند [۲]. واحدهای رسوبی شامل مارن‌های سازند شمشک، آهک‌های سازندهای دلیچای و تیزکوه، مارن، ماسه‌سنگ و کنگلومراهای کرتاسه تا میوسن و گچ و رسوبات آبرفتی ائوسن-الیگوسن و کواترنری هستند (شکل ۲ ت). نبوی [۹] با مشاهده قطعات دگرگونی از جنس شیست درون رسوبات سازندهای باروت و کهر، پی‌سنگ منطقه را از نوع دگرگونی در نظر می‌گیرد.

زمین‌شناسی

در مناطق سمنان، دامغان و جام، نواحی واقع در قسمت شمال غربی گسل سمنان (عطاری) وابسته به پهنه البرز مرکزی و مناطق واقع در قسمت جنوب شرقی این گسل (از جمله بخش‌های شمالی شهرستان سمنان) وابسته به پهنه ایران مرکزی هستند [۱-۵]. چیرگی سنگی در منطقه با سنگ‌های آتشفسانی، رسوبی-آتشفسانی و رسوبی است که در منطقه مورد بررسی به صورت یک سری از واحدهای چینه‌شناسی ژوراسیک تا کواترنری دیده می‌شوند (شکل ۱ ب) [۹، ۶]. سنگ‌های آتشفسانی ائوسن به طور کلی شامل آندزیت، تراکی-آندرزیت، تراکیت، داسیت و ریوداسیت هستند. واحدهای آتشفسانی-رسوبی موسوم به سازند کرج به سن ائوسن میانی هستند که توده نفوذی نوکه به سن احتمالی الیگوسن درون



شکل ۲ تصاویر صحرایی از منطقه نوکه (شمال سمنان): (الف) دورنمایی از نفوذ توده نوکه به درون تشکیلات رسوی-آتشفسانی ائوسن (دید به سمت شمال شرق)، (ب) نمایی نزدیک از توده نفوذی نوکه (دید به سمت شمال)، (پ) مرز توده نفوذی با اسکارن (دید به سمت شمال غرب) و (ت) نمایی نزدیک از سنگ گچ های ائوسن-الیگوسن.

سنگ‌ها، ۲ مقطع نازک صیقلی به دانشگاه اسلو در کشور نروژ ارسال شدند. طی این مرحله، ۱۴ نقطه از کانی کلینوپیروکسن، ۵ نقطه از کانی آمفیبول، ۷ نقطه از کانی بیوتیت و ۱۲ نقطه از کانی پلازیوکلاز در شرایط ولتاژ شتاب دهنده ۱۵ کیلو ولت، شدت جریان ۱۵ نانو آمپر، زمان شمارش ۱۰ ثانیه، دقت ۰/۰۱ درصد وزنی و قطر پرتو متتمرکز ۱۰ میکرومتر برای پلازیوکلاز و ۲-۵ میکرومتر برای سایر کانی‌ها تجزیه شدند (جدول ۱ تا ۴).

سنگ‌نگاری

توده نفوذی نوکه از نظر سنگ‌نگاری از دو نوع مختلف شامل مونزونیت-کوارتزمونزونیت و گرانیت-گرانودیوریت تشکیل شده است که در زیر روابط بافتی و ترکیب کانی‌شناسی آن‌ها ارائه می‌شود.

روش انجام پژوهش

طی بازدیدهای صحرایی، ۳۰ نمونه سنگی برای بررسی‌های سنگنگاری از توده نفوذی نوکه برداشت شد. سپس کانی-شناسی و روابط بافتی آنها به دقت بررسی گردید و ۱۴ نمونه از این سنگ‌ها که کمترین دگرسانی را داشتند برای شناسایی عنصرهای اصلی، به روش طیف‌سنگی نشر اتمی پلاسمای جفت شده القایی (ICP-AES) و عنصرهای فرعی، کمیاب و خاکی، به روش طیف‌سنگی جرمی پلاسمای جفت شده القایی (ICP-MS)، به آزمایشگاه ALS-CHEMEX کشور کانادا ارسال شدند [۱۰]. دقت اندازه‌گیری برای همه عناصر اصلی در حد ۰/۰۱ درصد وزنی و بیشینه دقت اندازه‌گیری در گروه عناصر جزئی برای عناصر Cr، Li و Tl برابر با ۱۰ ppm بود. به منظور تجزیه نقطه‌ای کانی‌های کلینوپیروکسن، آمفیبول، بیوتیت و پلازیوکلاز به عنوان کانی‌های قابل توجه در این

جدول ۱ نتایج تجزیه نقطه‌ای کانی کلینوپیروکسن در توده نفوذی نوکه. محاسبه تعداد کاتیون‌ها بر پایه ۶ اتم اکسیژن انجام شده است.

نمونه	GAF 30						GAF 34					
	Cpx 1		Cpx 2		Cpx 3		Cpx 1		Cpx 2		Cpx 3	
جاگاه	مرکز	مرکز	لبه	مرکز	لبه	لبه	مرکز	مرکز	لبه	لبه	لبه	مرکز
SiO ₂	۵۳/۲۳	۵۲/۲۰	۵۳/۲۰	۵۴/۴۴	۵۴/۵۹	۵۴/۱۹	۵۳/۳۸	۵۲/۶۸	۵۳/۶۳	۵۴/۴۴	۵۲/۹۱	۵۳/۹۱
TiO ₂	۰/۱	۰/۰۹	۰/۰۸	۰/۰۴	۰/۰۴	۰/۰۴	۰/۰۵	۰/۱۱	۰/۱۰	۰/۰۶	۰/۰۹	۰/۰۷
Al ₂ O ₃	۰/۵۲	۰/۴۶	۰/۳۶	۰/۲۵	۰/۲۹	۰/۲۶	۰/۴۵	۰/۴۳	۰/۴۰	۰/۱۵	۰/۴۲	۰/۵۲
Cr ₂ O ₃	۰/۰۳	۰/۰۲	۰/۰۰	۰/۰۳	۰/۰۰	۰/۰۰	۰/۰۰	۰/۰۰	۰/۰۱	۰/۰۲	۰/۰۴	۰/۰۰
FeO	۱۰/۲۲	۱۰/۰۳	۹/۹۴	۶/۶۶	۵/۹۴	۵/۹۹	۸/۸۰	۸/۹۷	۹/۶۵	۵/۶۷	۹/۰۶	۶/۱۹
MnO	۰/۸۳	۰/۶۸	۰/۶۱	۰/۴۴	۰/۲۹	۰/۴۸	۰/۳۹	۰/۶۱	۰/۶۸	۰/۰۸	۰/۳۹	۰/۱۰
MgO	۱۳/۱۳	۱۲/۷۲	۱۳/۶۳	۱۵/۱۱	۱۵/۶۱	۱۵/۴۵	۱۴/۲۵	۱۴/۲۵	۱۴/۰۰	۱۵/۲۰	۱۳/۹۲	۱۴/۹۹
CaO	۲۱/۹۰	۲۲/۲۴	۲۲/۳۶	۲۲/۵۰	۲۲/۷۵	۲۲/۸۵	۲۲/۸۳	۲۲/۵۶	۲۱/۹۴	۲۴/۹۱	۲۲/۳۳	۲۳/۹۹
Na ₂ O	۰/۳۱	۰/۳۵	۰/۲۴	۰/۳۷	۰/۸۰	۰/۳۱	۰/۲۷	۰/۲۳	۰/۳۰	۰/۲۲	۰/۲۳	۰/۴۵
K ₂ O	۰/۰۱	۰/۰۰	۰/۰۲	۰/۰۱	۰/۰۲	۰/۰۰	۰/۰۲	۰/۰۰	۰/۰۰	۰/۰۱	۰/۰۰	۰/۰۰
مجموع	۹۷/۷۱	۹۹/۱۹	۹۹/۱۵	۹۹/۲۹	۹۹/۱۹	۹۹/۱۶	۹۹/۰۵	۱۰۰/۹۶	۱۰۰/۶۸	۱۰۰/۶۹	۹۹/۳۵	۱۰۰/۲۸
کاتیون‌ها												
Si	۱/۹۹	۱/۹۸	۱/۹۸	۱/۹۹	۲/۰۰	۱/۹۹	۱/۹۸	۱/۹۸	۱/۹۹	۱/۹۹	۱/۹۸	۱/۹۹
Ti	۰/۰۰	۰/۰۰	۰/۰۰	۰/۰۰	۰/۰۰	۰/۰۰	۰/۰۰	۰/۰۰	۰/۰۰	۰/۰۰	۰/۰۰	۰/۰۰
Al	۰/۰۲	۰/۰۲	۰/۰۲	۰/۰۱	۰/۰۱	۰/۰۱	۰/۰۲	۰/۰۲	۰/۰۱	۰/۰۲	۰/۰۲	۰/۰۳
Cr	۰/۰۰	۰/۰۰	۰/۰۰	۰/۰۰	۰/۰۰	۰/۰۰	۰/۰۰	۰/۰۰	۰/۰۰	۰/۰۰	۰/۰۰	۰/۰۰
Fe ³⁺	۰/۰۱	۰/۰۵	۰/۰۳	۰/۰۲	۰/۰۵	۰/۰۴	۰/۰۴	۰/۰۳	۰/۰۲	۰/۰۲	۰/۰۴	۰/۰۳
Fe ²⁺	۰/۳۱	۰/۲۷	۰/۲۸	۰/۱۷	۰/۱۳	۰/۱۵	۰/۲۴	۰/۲۵	۰/۲۸	۰/۱۵	۰/۲۶	۰/۱۹
Mn	۰/۰۳	۰/۰۲	۰/۰۲	۰/۰۱	۰/۰۱	۰/۰۱	۰/۰۲	۰/۰۲	۰/۰۱	۰/۰۰	۰/۰۱	۰/۰۰
Mg	۰/۷۳	۰/۷۶	۰/۷۶	۰/۸۳	۰/۸۵	۰/۸۴	۰/۷۹	۰/۷۹	۰/۸۳	۰/۷۸	۰/۸۲	۰/۸۳
Ca	۰/۸۸	۰/۸۸	۰/۸۹	۰/۹۲	۰/۸۹	۰/۹۴	۰/۹۱	۰/۸۹	۰/۸۷	۰/۹۸	۰/۹۰	۰/۹۴
Na	۰/۰۲	۰/۰۳	۰/۰۲	۰/۰۳	۰/۰۶	۰/۰۲	۰/۰۲	۰/۰۲	۰/۰۲	۰/۰۲	۰/۰۳	۰/۰۸
K	۰/۰۰	۰/۰۰	۰/۰۰	۰/۰۰	۰/۰۰	۰/۰۰	۰/۰۰	۰/۰۰	۰/۰۰	۰/۰۰	۰/۰۰	۰/۰۰
مجموع	۴/۰۰	۴/۰۰	۴/۰۰	۴/۰۰	۴/۰۰	۴/۰۰	۴/۰۰	۴/۰۰	۴/۰۰	۴/۰۰	۴/۰۰	۴/۰۰
پارامترها												
Fs	۱۶/۱۸	۱۲/۹۳	۱۴/۵۲	۹/۰۴	۷/۰۰	۷/۵۹	۱۲/۲۳	۱۲/۸۹	۱۴/۶۰	۷/۷۷	۱۳/۶۰	۷/۸۷
Wo	۴۵/۷	۴۶/۲۱	۴۶/۲۶	۴۷/۸۶	۴۷/۵۱	۴۸/۶۱	۴۶/۹۸	۴۶/۲۲	۴۵/۲۴	۴۹/۸۹	۴۶/۲۸	۴۹/۲۸
X _{PT}	۴۰/۴۰	۴۰/۷۱	۴۰/۷۴	۴۱/۰۶	۴۰/۵۵	۴۱/۰۳	۴۰/۷۹	۴۰/۹۱	۴۰/۷۲	۴۱/۵۱	۴۰/۳۸	۴۰/۷۲
Y _{PT}	-۲۶/۷۳	-۲۷/۲۱	-۲۷/۱۵	-۲۹/۷۸	-۳۰/۰۲۰	-۳۰/۰۱	-۲۸/۰۸	-۲۸/۰۵	-۲۷/۵۲	-۳۰/۰۳۲	-۲۷/۵۵	-۲۹/۸۰

جدول ۲ نتایج تجزیه نقطه‌ای کانی آمفیبول در توده نفوذی نوکه. محاسبه تعداد کاتیون‌ها بر مبنای ۲۳ اتم اکسیژن انجام شده است. Core: مرکز و Rim: حاشیه.

نمونه	GAF 30				GAF 34			
	Amph 1				Amph 1			
حالگاه	مرکز	مرکز	لبه	مرکز	لبه	مرکز	لبه	مرکز
SiO ₂	۰/۴۱	۴۸/۸۲	۵۲/۵۹	۵۲/۷۲	۵۳/۰۶	۰/۹۳	۰/۹۳	۰/۷۱
TiO ₂	۰/۹۴	۰/۹۹	۰/۹۹	۰/۹۹	۳/۶۶	۳/۱۰	۳/۱۶	۳/۱۶
Al ₂ O ₃	۴/۸۳	۴/۹۳	۴/۹۳	۴/۹۳	۷/۰۱	۶/۹۹	۶/۹۹	۷/۹۳
FeO	۱۲/۳۹	۱۳/۶۷	۱۳/۶۷	۱۳/۶۷	۰/۰۱	۰/۱۴	۰/۱۴	۰/۲۰
MnO	۰/۴۷	۰/۴۱	۰/۰۱	۰/۰۱	۰/۰۱	۰/۰۱	۰/۰۱	۰/۰۱
MgO	۱۵/۳۳	۱۴/۹۴	۱۹/۱۶	۱۸/۹۸	۱۸/۹۸	۱۸/۹۸	۱۸/۹۸	۱۸/۳۹
CaO	۱۱/۴۰	۱۱/۱۱	۱۱/۴۹	۱۲/۲۹	۱۲/۲۹	۱۲/۲۹	۱۲/۴۳	۱۲/۴۳
Na ₂ O	۲/۴۵	۲/۷۱	۲/۷۱	۲/۷۱	۲/۲۰	۲/۰۴	۱/۷۷	۱/۷۷
K ₂ O	۰/۴۷	۰/۵۱	۰/۳۷	۰/۳۷	۰/۳۰	۰/۳۰	۰/۳۰	۰/۳۰
Cr ₂ O ₃	۰/۰۱	۰/۰۱	۰/۰۰	۰/۰۰	۰/۰۰	۰/۰۰	۰/۰۰	۰/۰۰
مجموع	۹/۸۶۹	۹/۸۰۹	۹/۷۵۵	۹/۷۴۸	۹/۷۴۸	۹/۷۹۵	۹/۷۹۵	۹/۷۹۵
کاتیون‌ها								
Si	۷/۲۵	۷/۱۰	۷/۴۲	۷/۴۹	۷/۴۹	۷/۵۲	۷/۵۲	۷/۵۲
Al ^{IV}	۰/۷۵	۰/۸۵	۰/۵۸	۰/۵۱	۰/۵۱	۰/۴۸	۰/۴۸	۰/۴۸
Al ^{VI}	۰/۰۷	۰/۰۰	۰/۰۳	۰/۰۱	۰/۰۱	۰/۰۸	۰/۰۸	۰/۰۸
Ti	۰/۱۰	۰/۱۱	۰/۱۱	۰/۱۰	۰/۱۰	۰/۰۸	۰/۰۸	۰/۰۸
Cr	۰/۰۰	۰/۰۰	۰/۰۰	۰/۰۰	۰/۰۰	۰/۰۰	۰/۰۰	۰/۰۰
Fe ³⁺	۰/۲۰	۰/۴۳	۰/۲۰	۰/۰۰	۰/۰۰	۰/۰۰	۰/۰۰	۰/۰۰
Fe ²⁺	۱/۲۹	۱/۲۳	۰/۸۳	۰/۸۳	۰/۸۳	۰/۹۴	۰/۹۴	۰/۹۴
Mn	۰/۰۶	۰/۰۵	۰/۰۱	۰/۰۱	۰/۰۱	۰/۰۲	۰/۰۲	۰/۰۲
Mg	۳/۲۹	۳/۲۴	۴/۰۳	۴/۰۲	۴/۰۲	۳/۸۹	۳/۸۹	۳/۸۹
Ca	۱/۷۶	۱/۷۳	۱/۷۴	۱/۸۷	۱/۸۷	۱/۸۹	۱/۸۹	۱/۸۹
Na	۰/۶۸	۰/۷۶	۰/۶۰	۰/۵۶	۰/۵۶	۰/۴۹	۰/۴۹	۰/۴۹
K	۰/۰۹	۰/۰۹	۰/۰۷	۰/۰۵	۰/۰۵	۰/۰۵	۰/۰۵	۰/۰۵
OH*	۲/۰۰	۲/۰۰	۲/۰۰	۲/۰۰	۲/۰۰	۲/۰۰	۲/۰۰	۲/۰۰
مجموع	۱/۷۵۳	۱/۷۵۹	۱/۷۴۱	۱/۷۴۶	۱/۷۴۶	۱/۷۴۱	۱/۷۴۱	۱/۷۴۱
پارامترها								
Mg(Mg+Fe ²⁺)	۰/۷۲	۰/۷۲	۰/۸۶	۰/۸۳	۰/۸۳	۰/۸۱	۰/۸۱	۰/۸۱
Fe/Fe+Mg	۰/۳۱	۰/۳۴	۰/۱۷	۰/۱۷	۰/۱۷	۰/۱۹	۰/۱۹	۰/۱۹

جدول ۳ نتایج تجزیه نقطه‌ای کانی بیوپتیت در توده نفوذی نوکه. محاسبه تعداد کاتیون‌ها بر مبنای ۲۲ اتم اکسیژن انجام شده است. Core: مرکز و Rim: حاشیه.

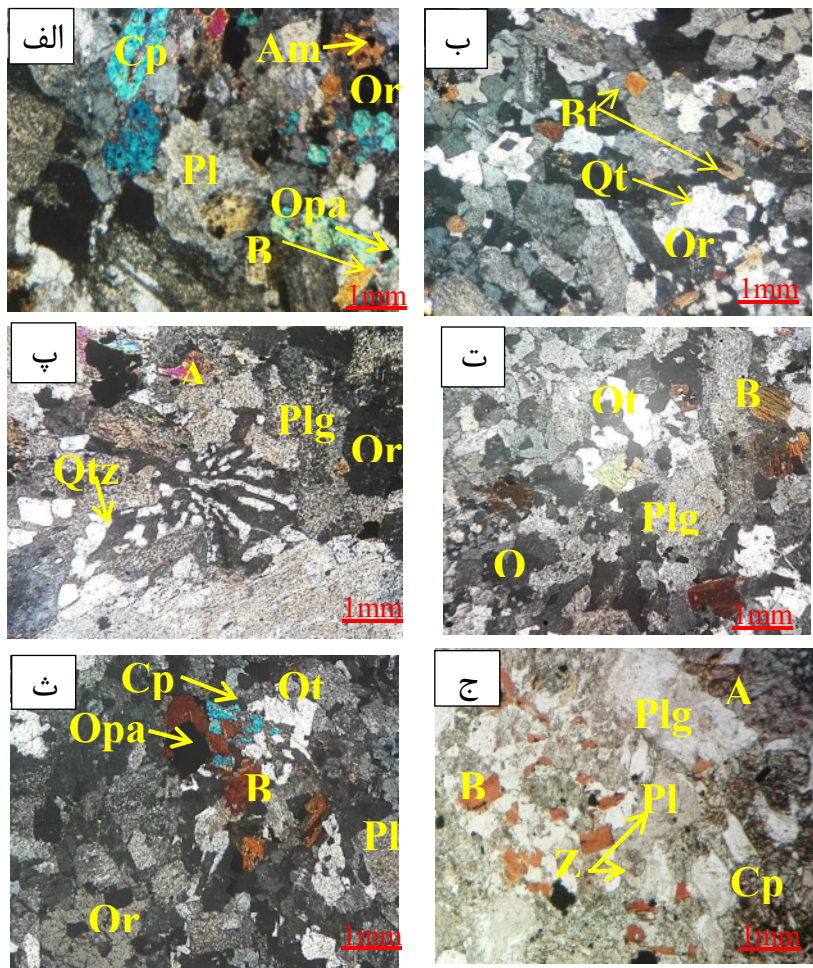
نمونه		GAF 30			GAF 34		
Bt	Bt 1	Bt 2	Bt 3	Bt 1	Bt 2	Bt 3	
Location	مرکز	مرکز	مرکز	مرکز	مرکز	مرکز	
SiO ₂	۳۹.۵۶	۳۹.۴۳	۳۹.۷۱	۳۹.۴۲	۳۹.۷۲	۳۹.۷۱	
TiO ₂	۰.۴۲	۰.۴۲	۰.۴۸	۰.۱۱	۰.۱۳	۰.۱۶	
Al ₂ O ₃	۱۲.۸۹	۱۳.۰۲	۱۲.۹۹	۱۲.۷۶	۱۲.۷۶	۱۲.۸۳	
FeO	۱.۳۸	۱.۸۹	۱.۲۶	۰.۱۰	۰.۱۶	۰.۲۱	
MnO	۰.۰۳	۰.۰۰	۰.۰۳	۰.۰۶	۰.۰۴	۰.۰۵	
MgO	۱۹.۰۰	۱۹.۴۲	۱۹.۷۶	۱۹.۲۰	۱۹.۲۵	۱۹.۰۰	
CaO	۰.۰۴	۰.۰۲	۰.۰۰	۰.۰۰	۰.۰۰	۰.۰۰	
Na ₂ O	۰.۲۰	۰.۴۲	۰.۳۶	۰.۳۹	۰.۴۳	۰.۴۵	
K ₂ O	۹.۸۰	۹.۸۶	۱۰.۰۳	۹.۷۵	۹.۸۳	۹.۸۱	
Cr ₂ O ₃	۰.۰۲	۰.۰۰	۰.۰۰	۰.۰۲	۰.۰۱	۰.۰۰	
Li ₂ O*	۰.۰۰	۰.۰۰	۰.۰۰	۰.۰۰	۰.۰۰	۰.۰۰	
H ₂ O*	۴.۱۶	۴.۱۴	۴.۱۷	۴.۱۴	۴.۱۴	۴.۱۶	
مجموع	۱۰۰.۰۰	۹۹.۸۳	۱۰۰.۱۹	۹۹.۹۵	۱۰۰.۰۴	۱۰۰.۱۷	
کاتیون‌ها							
Si	۰.۷۱	۰.۷۱	۰.۷۲	۰.۷۱	۰.۶۹	۰.۷۳	۰.۷۴
Al ^{IV}	۲.۱۶	۲.۲۲	۲.۲۰	۲.۱۸	۲.۱۸	۲.۱۸	۲.۱۵
Al ^{VI}	۰.۰۰	۰.۰۰	۰.۰۰	۰.۰۰	۰.۰۰	۰.۰۰	۰.۰۰
Ti	۰.۰۹	۰.۰۵	۰.۰۳	۰.۰۶	۰.۰۵	۰.۰۵	۰.۰۵
Cr	۰.۰۰	۰.۰۰	۰.۰۰	۰.۰۰	۰.۰۰	۰.۰۰	۰.۰۰
Fe	۱.۱	۱.۱	۰.۹۹	۱.۱	۱.۱	۱.۱	۱.۰۵
Mn	۰.۰۰	۰.۰۰	۰.۰۰	۰.۰۱	۰.۰۱	۰.۰۰	۰.۰۱
Mg	۴۲.۰	۴۱.۹	۴۲.۴	۴۱.۴	۴۱.۶	۴۱.۰	۴۱.۶
Li [*]	۰.۰۰	۰.۰۰	۰.۰۰	۰.۰۰	۰.۰۰	۰.۰۰	۰.۰۰
Ca	۰.۰۱	۰.۰۰	۰.۰۰	۰.۰۰	۰.۰۰	۰.۰۰	۰.۰۰
Na	۰.۰۹	۰.۱۲	۰.۱۰	۰.۱۱	۰.۱۲	۰.۱۳	۰.۱۳
K	۱.۸۱	۱.۸۲	۱.۸۴	۱.۸۰	۱.۸۲	۱.۷۷	۱.۷۹
OH [*]	۴.۰۰	۴.۰۰	۴.۰۰	۴.۰۰	۴.۰۰	۴.۰۰	۴.۰۰
مجموع	۱۹.۰۷	۱۹.۶۰	۱۹.۶۳	۱۹.۶۰	۱۹.۶۳	۱۹.۰۷	۱۹.۰۹
پارامترها							
FeO ⁺ (FeO _{tot})	۱.۳۸	۱.۸۹	۱.۲۶	۰.۱۰	۰.۱۶	۰.۲۱	۱.۷۳
Mg/Mg+Fe	۰.۸۱	۰.۸۰	۰.۸۱	۰.۷۹	۰.۷۹	۰.۷۹	۰.۸۰

جدول ۴ نتایج تجزیه نقطه‌ای کانی پلازیوکلاز در توده نفوذی نوکه. محاسبه تعداد کاتیون‌ها بر مبنای ۸ اتم اکسیژن انجام شده است. Core: مرکز و Rim: حاشیه.

نامه	GAF 30						GAF 34					
Plg	Plg 1			Plg 2			Plg 1			Plg 2		
Location	لبه	لبه	مرکز	لبه	مرکز	مرکز	مرکز	مرکز	لبه	مرکز	مرکز	مرکز
SiO ₂	۶۱۳۰	۵۷۵۱	۵۷۰۸	۶۴۳۴	۵۶۸۵	۵۶۶۶	۵۷۱۹	۵۵۵۹	۶۲۱۶	۵۵۹۷	۵۵۶۴	۵۳۴۷
TiO ₂	۰۰۳	۰۰۵	۰۰۰	۰۰۰	۰۰۳	۰۰۶	۰۰۰	۰۰۰	۰۰۱	۰۰۱	۰۰۲	۰۰۲
Al ₂ O ₃	۲۴۳۵	۲۷۲۴	۲۷۳۷	۲۱۹۴	۲۷۴۶	۲۷۶۶	۲۶۹۸	۲۷۸۷	۲۴۰۱	۲۷۸۴	۲۷۸۷	۲۸۷۳
FeO	۰۳۰	۰۲۷	۰۲۳	۰۱۴	۰۲۸	۰۲۵	۰۲۵	۰۲۸	۰۱۷	۰۳۰	۰۲۳	۰۲۴
MnO	۰۰۰	۰۰۰	۰۰۰	۰۰۲	۰۰۱	۰۰۰	۰۰۳	۰۰۰	۰۰۰	۰۰۳	۰۰۱	۰۰۰
MgO	۰۰۱	۰۰۰	۰۰۰	۰۰۰	۰۰۱	۰۰۱	۰۰۰	۰۰۰	۰۰۰	۰۰۱	۰۰۰	۰۰۰
CaO	۵۸۶	۹۱۵	۹۵۷	۲۹۹	۹۵۴	۹۸۰	۹۱۵	۱۰۴۶	۵۴۹	۱۰۲۰	۱۰۰۷	۱۱۷۴
Na ₂ O	۸۲۶	۶۴۷	۶۲۶	۹۷۴	۶۰۶	۵۹۸	۶۳۰	۵۶۵	۸۰۳	۶۰۰	۵۸۸	۴۹۴
K ₂ O	۰۴۰	۰۲۳	۰۲۵	۰۱۹	۰۳۶	۰۲۹	۰۳۲	۰۳۰	۰۴۲	۰۲۳	۰۲۶	۰۲۰
مجموع	۱۰۰۰۱	۱۰۰۹۲	۱۰۰۹۶	۱۰۰۹۰	۱۰۰۷۰	۱۰۰۸۰	۱۰۰۳۲	۱۰۰۱۶	۱۰۰۷۹	۱۰۰۳۹	۱۰۰۰۱	۹۹۱۴
کاتیون‌ها												
Si	۲۷۲	۲۵۶	۲۰۵	۲۸۶	۲۰۴	۲۰۳	۲۰۶	۲۰۵	۲۷۴	۲۰۲	۲۰۱	۲۴۴
Al	۱۲۷	۱۴۳	۱۴۴	۱۱۳	۱۴۵	۱۴۶	۱۴۳	۱۴۸	۱۲۵	۱۴۶	۱۴۸	۱۴۴
Ti	۰۰۰	۰۰۰	۰۰۰	۰۰۰	۰۰۰	۰۰۰	۰۰۰	۰۰۰	۰۰۰	۰۰۰	۰۰۰	۰۰۰
Fe	۰۰۱	۰۰۱	۰۰۱	۰۰۱	۰۰۱	۰۰۱	۰۰۱	۰۰۱	۰۰۱	۰۰۱	۰۰۱	۰۰۱
Mn	۰۰۰	۰۰۰	۰۰۰	۰۰۰	۰۰۰	۰۰۰	۰۰۰	۰۰۰	۰۰۰	۰۰۰	۰۰۰	۰۰۰
Mg	۰۰۰	۰۰۰	۰۰۰	۰۰۰	۰۰۰	۰۰۰	۰۰۰	۰۰۰	۰۰۰	۰۰۰	۰۰۰	۰۰۰
Ca	۰۲۸	۰۴۴	۰۴۶	۰۱۲	۰۴۶	۰۴۷	۰۴۴	۰۴۰	۰۲۶	۰۴۹	۰۴۹	۰۵۷
Na	۰۷۱	۰۵۶	۰۵۵	۰۱۳	۰۵۳	۰۵۲	۰۵۵	۰۴۹	۰۷۳	۰۵۲	۰۵۱	۰۴۳
K	۰۰۲	۰۰۱	۰۰۱	۰۰۴	۰۰۲	۰۰۲	۰۰۲	۰۰۲	۰۰۲	۰۰۱	۰۰۲	۰۰۱
مجموع	۰۰۱	۰۰۱	۰۰۲	۰۰۱	۰۰۱	۰۰۱	۰۰۱	۰۰۱	۰۰۱	۰۰۲	۰۰۲	۰۰۱
بارمترها												
Or	۲۲۴	۱۳۰	۱۳۸	۴۳۹	۲۰۲	۱۸۵	۱۸۰	۱۷۱	۲۳۲	۱۲۷	۱۴۹	۱۱۳
Ab	۷۰۲۱	۵۵۳۸	۵۳۸۵	۸۲۰۲	۵۲۳۸	۵۱۵۹	۵۴۴۷	۴۸۶۰	۷۲۰۶	۵۰۹۲	۵۰۸۲	۴۲۷۶
An	۲۷۰۵	۴۳۲۲	۴۴۷۷	۱۳۵۸	۴۵۶۰	۴۶۷۶	۴۳۷۳	۴۹۶۹	۲۵۶۱	۴۷۸۱	۴۷۸۹	۴۶۱۱

هستند که در برخی نمونه‌ها به کلریت تبدیل شده‌اند. آمفیبول‌ها با حجم کمتر از ۵ درصد، بی‌شکل تا نیمه‌شکل دار هستند که گاهی آثار دگرسانی به کلریت و اپیدوت را نشان می‌دهند. برخی از نمونه‌های مونزونیتی با ۳۰ تا ۵۰ درصد حجمی ارتوکلاز، دارای ۱۵ درصد حجمی کوارتز خلیجی شکل هستند که نشانگر ترکیب کوارتزمونزونیتی است؛ این نمونه‌ها دارای اندکی کانی فرعی بیوپیت هستند (شکل ۳ ب). در مقاطع این نمونه‌های سنگی، افزون بر حضور بلورهای مجرای کوارتز، هم‌رشدی کرمی شکل کوارتز در فلدسپار قلیایی بافت گرانوفیری نیز ایجاد کرده است (شکل ۳ پ). همچنین در نمونه‌های درشت ارتوکلاز میانبارهایی از آپاتیت دیده می‌شود.

مونزونیت- کوارتزمونزونیت: این سنگ‌ها در نمونه دستی به رنگ خاکستری روشن تا تیره و خاکستری مایل به صورتی بوده و بلورهای پلازیوکلاز، ارتوکلاز و بیوپیت در آن‌ها قابل شناسایی هستند. ارتوکلاز و پلازیوکلاز از کانی‌های اصلی مونزونیت‌ها هستند و این سنگ‌ها اغلب بافت دانه‌ای نشان می‌دهند. برخی از کانی‌های ارتوکلاز به کانی‌های رسی دگرسان شده‌اند. پلازیوکلاز‌ها با حجم کمتر از ۳۰ تا ۵۰ درصد، بی‌شکل تا نیمه‌شکل دار، با ماکل چندريختی هستند و بيشتر در اثر دگرسانی به سريسيت تبدیل شده‌اند. اين نمونه‌ها دارای کانی‌های فرعی گلينوپيروکسن به حجم کمتر از ۵ درصد و بیوپیت به حجم کمتر از ۳ درصد هستند (شکل ۳ الف). بیوپیت‌ها اغلب بی‌شکل تا شکل دار، دارای چندرنگی قهوه‌ای و رخ‌يک جهتی



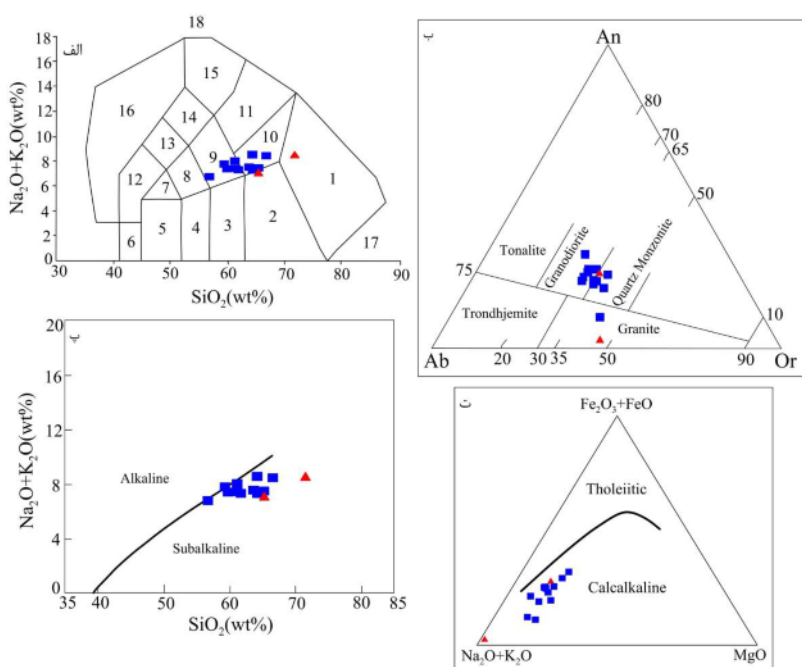
شکل ۳ تصاویر میکروسکوپی از توده نفوذی نوکه: (الف) بافت دانه‌ای در نمونه‌های مونزونیتی به همراه کانی‌های ارتوکلاز، پلازیوکلاز و کانی‌های فرعی گلينوپيروکسن، آمفیبول و بیوپیت (XPL); (ب) بافت گرانولار در نمونه‌های کوارتزمونزونیتی به همراه کانی‌های ارتوکلاز، کوارتز خلیجی و بیوپیت (XPL); (پ) بافت گرانوفیری در نمونه‌های کوارتزمونزونیتی (XPL); (ت) کانی کوارتز با بافت خلیجی و کانی بیوپیت در نمونه‌های گرانودیوریتی (XPL); (ث) بافت گرانولار در نمونه‌های گرانودیوریتی به همراه کانی‌های پلازیوکلاز، کوارتز و ارتوکلاز و کانی‌های فرعی گلينوپيروکسن و بیوپیت (XPL); (ج) کانی‌های فرعی بیوپیت، آمفیبول و کانی‌های تیره به همراه میانبارهایی از کانی زیرکن در بلور پلازیوکلاز در نمونه‌های گرانودیوریتی (PPL).

[۱۲]، نمونه‌های مورد بررسی نیز ترکیب گرانودیوریتی، کوارتزموزنونیتی و گرانیتی نشان می‌دهند که همخوانی بسیاری با کانی‌شناسی مودال دارد (شکل ۴ ب). برای شناسایی سری SiO_2 ماقمایی نمونه‌های مورد بررسی از نمودار درصد وزنی [۱۳] استفاده شد. در نسبت به مجموع مقادیر Na_2O و K_2O [۱۳] این نمودار، بیشتر نمونه‌های مورد بررسی در گستره نیمه-قلیایی و بسیار کمتر در مرز نیمه قلیایی با قلیایی جای گرفته‌اند (شکل ۴ ب) که می‌تواند به دلیل دگرنهادی قلیایی‌های Fe_2O_3 و MgO ، FeO و مجموع مقادیر Na_2O و K_2O [۱۳]، همه نمونه‌های مورد بررسی در گستره آهکی قلیایی جای می‌گیرند (شکل ۴ ت). برای شناسایی شاخص اشباع از آلومینیوم (ASI)، از نمودار درصد وزنی SiO_2 در برابر نسبت مولار (A/CNK) $\text{Al}_2\text{O}_3/\text{CaO}+\text{Na}_2\text{O}+\text{K}_2\text{O}$ در این نمودار، بیشتر نمونه‌های مورد بررسی در گستره پرآلومین و به تعداد کمتر در گستره متاآلومین جای گرفته‌اند (شکل ۵ الف). همچنان‌ین در نمودار (A/CNK) $\text{Al}_2\text{O}_3/\text{CaO}+\text{Na}_2\text{O}+\text{K}_2\text{O}$ مورد بررسی در گستره پرآلومین و به تعداد کمتر در گستره متاآلومین جای گرفته‌اند (شکل ۵ ب). قرار گرفتن بیشتر نمونه‌ها در گستره پرآلومین می‌تواند به دلایلی چون دگرنهادی، تبلوربخشی آمفیبیول و ذوببخشی نامتجانس بیوتیت و آمفیبیول برای تولید پیروکسن و اضافه شدن آلومینیوم برآمده از این فرایند به منبع متاآلومین این گرانیتها باشد [۱۶]. جهت تفکیک انواع گرانیت‌های از نمودارهای درصد وزنی K_2O نسبت به درصد وزنی Na_2O [۱۴] و درصد وزنی SiO_2 نسبت به Y [۱۷] استفاده شد که در نمودار نخست، بیشتر نمونه‌ها در گستره گرانیت‌های نوع I قرار می‌گیرند (شکل ۵ ب). در نمودار دوم نیز همه نمونه‌ها در گستره گرانیت‌های نوع I قرار می‌گیرند (شکل ۵ ت). این امر با حضور کانی‌های آمفیبیول و کلینوپیروکسن در این سنگ‌ها و همراهی آن‌ها با سنگ‌های گابرویی همخوانی دارد [۱۸].

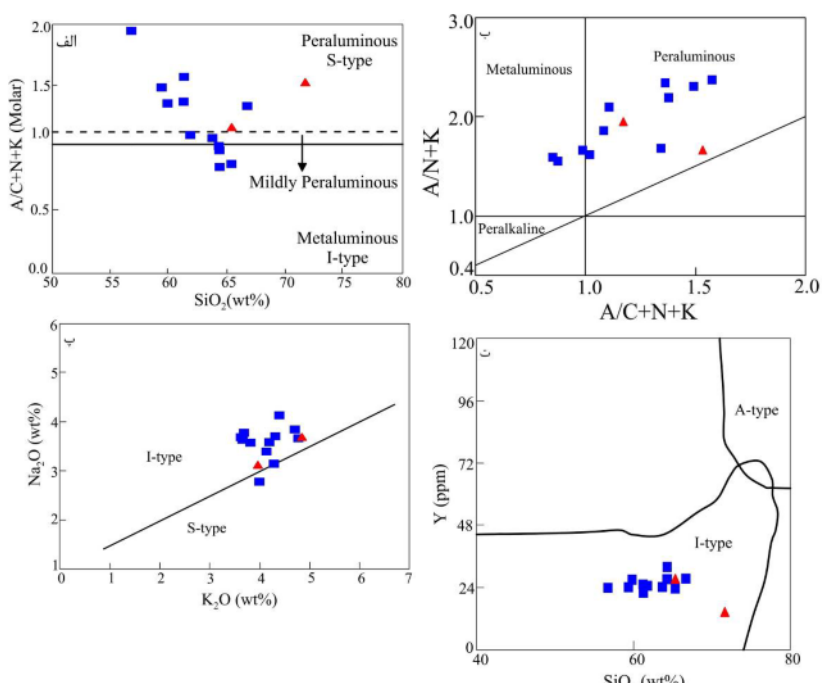
گرانیت- گرانودیوریت: این سنگ‌ها در نمونه دستی به رنگ سفید مایل به صورتی تا خاکستری متمایل به سبز و خاکستری تیره بوده و بلورهای فلدسپار، کوارتز و بیوتیت در آن‌ها قابل شناسایی هستند. در مقاطع میکروسکوپی، نمونه‌های گرانیتی و گرانودیوریتی دارای کانی‌های اصلی کوارتز، ارتوکلاز و پلازیوکلاز هستند و اغلب بافت دانه‌ای نشان می‌دهند. کانی کوارتز با فراوانی ۲۰ تا ۳۰ درصد حجمی، به صورت بی‌شكل، شفاف و گاهی با خاموشی موجی بوده که در برخی نمونه‌ها دارای بافت خلیجی است. ارتوکلازها اغلب بی‌شكل تا نیمه-شكل دار با ماکل کارلسپاد دیده می‌شوند. کانی فرعی بیوتیت با حجم کمتر از ۵ درصد در این نمونه‌ها مشاهده می‌شود (شکل ۳ ت). نمونه‌های گرانودیوریتی از کانی‌های اصلی پلازیوکلاز، کوارتز و ارتوکلاز با بافت اصلی دانه‌ای تشکیل شده‌اند. پلازیوکلازها شکل دار تا نیمه‌شكل دار، با ماکل چندريختی هستند و در اثر دگرسانی گاهی به سریسیت و سوسوریت تبدیل شده‌اند (شکل ۳ ث). از کانی‌های فرعی این سنگ‌ها که هر یک کمتر از ۵ درصد حجمی نمونه‌ها را به خود اختصاص می‌دهند می‌توان به کلینوپیروکسن، بیوتیت، آمفیبیول و کانی‌های تیره اشاره کرد. کلینوپیروکسن به صورت بلورهای بی‌شكل تا نیمه‌شكل دار، با فراوانی کمتر از ۵ درصد حجمی بوده که در برخی نمونه‌ها در اثر دگرسانی به آمفیبیول تبدیل شده است. آمفیبیول و بیوتیت نیز با فراوانی کلی کمتر از ۱۰ درصد، به صورت نیمه‌شكل دار دیده می‌شوند. در نمونه‌های سالم، بلورهای پلازیوکلاز دارای میانبارهایی از زیرکن هستند (شکل ۳ ج).

بحث و بررسی زمین‌شیمی

ترکیب شیمیایی نمونه‌های بررسی شده [۱۰] در نمودار مجموع Na_2O و K_2O نسبت به SiO_2 [۱۱] بیشتر در گستره مونزنونیت و کوارتز مونزنونیت و به کمتر در گستره گرانیت و گرانودیوریت قرار می‌گیرند که این امر می‌تواند با فرایند جدایش و افزایش مقدار سیلیس به سمت مرکز توده سازگار باشد (شکل ۴ الف). در نمودار بهنجار آلبیت- آنورتیت- ارتوز



شکل ۴ الف و ب) جایگاه ترکیبی نمونه‌های توده نفوذی نوکه در نمودار $\text{Na}_2\text{O}+\text{K}_2\text{O}$ نسبت به SiO_2 [۱۱]. گستره‌ها عبارتند از: ۱- گرانیت، ۲- گرانودیوریت، ۳- دیوریت، ۴- دیوریت گابروی، ۵- گابرو، ۶- گابروی پریدوتیتی، ۷- مونزو گابرو، ۸- مونزو دیوریت، ۹- مونزونیت، ۱۰- کوارتز، ۱۱- سینیت، ۱۲- فوئید گابرو، ۱۳- فوئید مونزو دیوریت، ۱۴- فوئید مونزو سینیت، ۱۵- فوئید سینیت، ۱۶- فوئیدولیت، ۱۷- مونزونیت، ۱۸- تاویت/اورتیت/ایتالیت و در نمودار رده‌بندی آلبیت-آنورتیت-ارتوز بهنچار [۱۲]؛ پ و ت) شناسایی سری ماگمایی نمونه‌های توده نفوذی نوکه در نمودار $\text{Na}_2\text{O}+\text{K}_2\text{O}$ نسبت به SiO_2 [۱۳] و در نمودار $\text{Na}_2\text{O}+\text{K}_2\text{O}, \text{MgO}, \text{Fe}_2\text{O}_3+\text{FeO}$ نسبت به SiO_2 مربع نشانگر گروه مونزونیت-کوارتز مونزونیت و مثلث نشانگر گروه گرانیت-گرانودیوریت است.

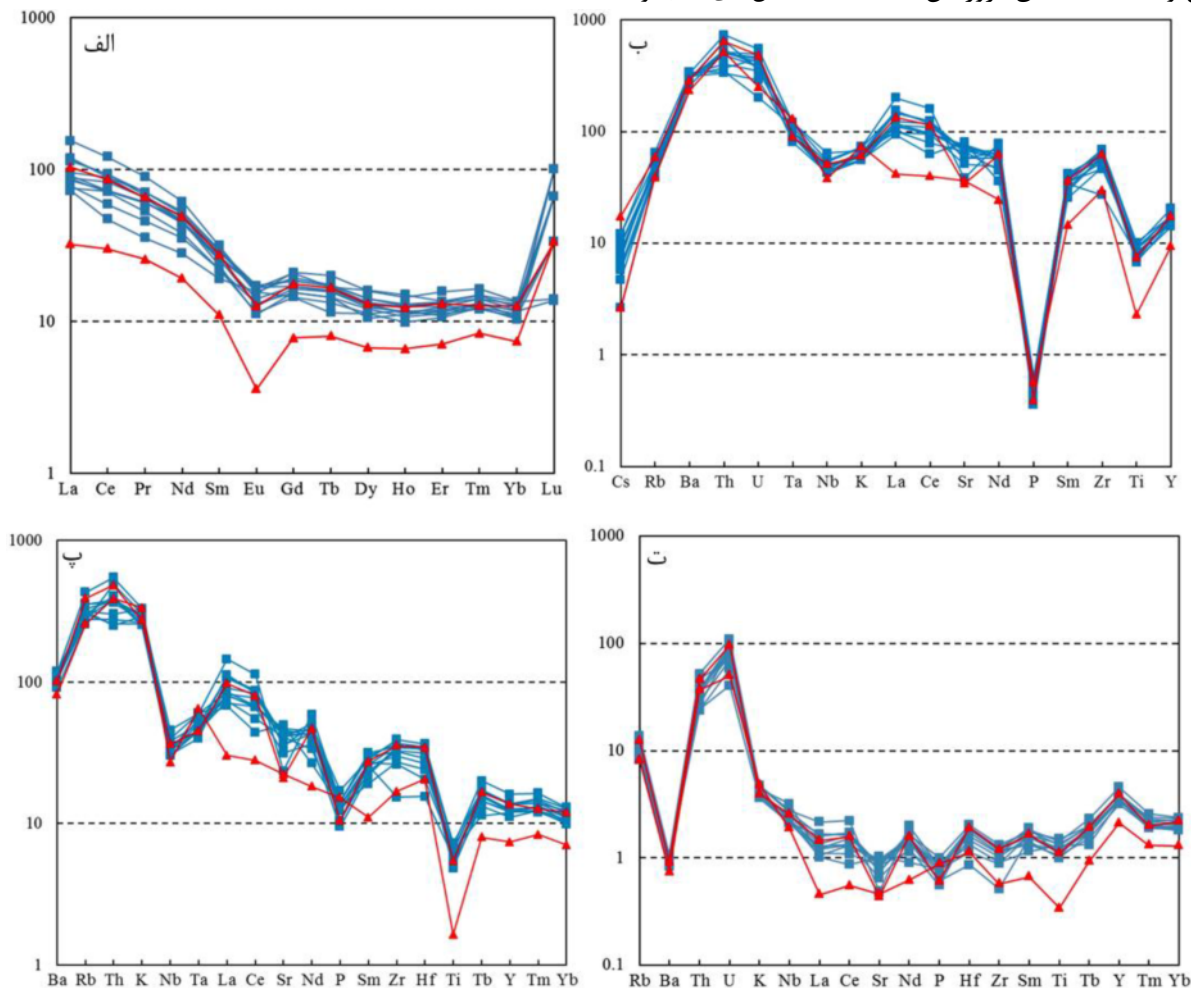


شکل ۵ الف و ب) شناسایی اشبع از آلومینیوم (ASI) برای نمونه‌های توده نفوذی نوکه در نمودار SiO_2 نسبت به A/CNK [۱۴]، و نمودار A/CNK نسبت به A/NK [۱۵]؛ پ و ت) شناسایی نوع گرانیتوئید برای نمونه‌های توده نفوذی نوکه در نمودار K_2O نسبت به Na_2O [۱۷] و نمودار SiO_2 نسبت به Y [۱۴].

پ نیز افزون بر جدایش و غنی‌شدگی عناصر LREE نسبت به Ti، HREE، نشانگر ناهنجاری منفی عناصری چون P، Nb و هستند. ناهنجاری منفی Nb و Ti به ترتیب می‌تواند مربوط به آلایش با مواد پوسته‌ای و یا تبلور فازهای کانیایی دما بالا در ابتدای تبلور مagma چون ایلمینیت، روتیل و اسفن باشد [۲۷، ۲۶]. ناهنجاری منفی P مربوط به جدایش و تبلور کانی آپاتیت است [۲۸]. همچنین در این نمودارها و نیز نمودار شکل ۶، غنی‌شدگی از عناصری به شدت ناسازگار چون U، Th و Rb دیده می‌شود که می‌تواند نتیجه پیشرفت جدایش و افزایش مقدار آن‌ها در مذاب باشد و از طرفی از این غنی‌شدگی به عنوان آلایش پوسته‌ای یاد می‌شود [۳۰، ۲۹]. ناهنجاری عناصر دیگر مانند Eu، Ba و Sr به تبلور فلدسپارها مربوط می‌شود.

بررسی نمودارهای عناصر خاکی نادر و ناسازگار

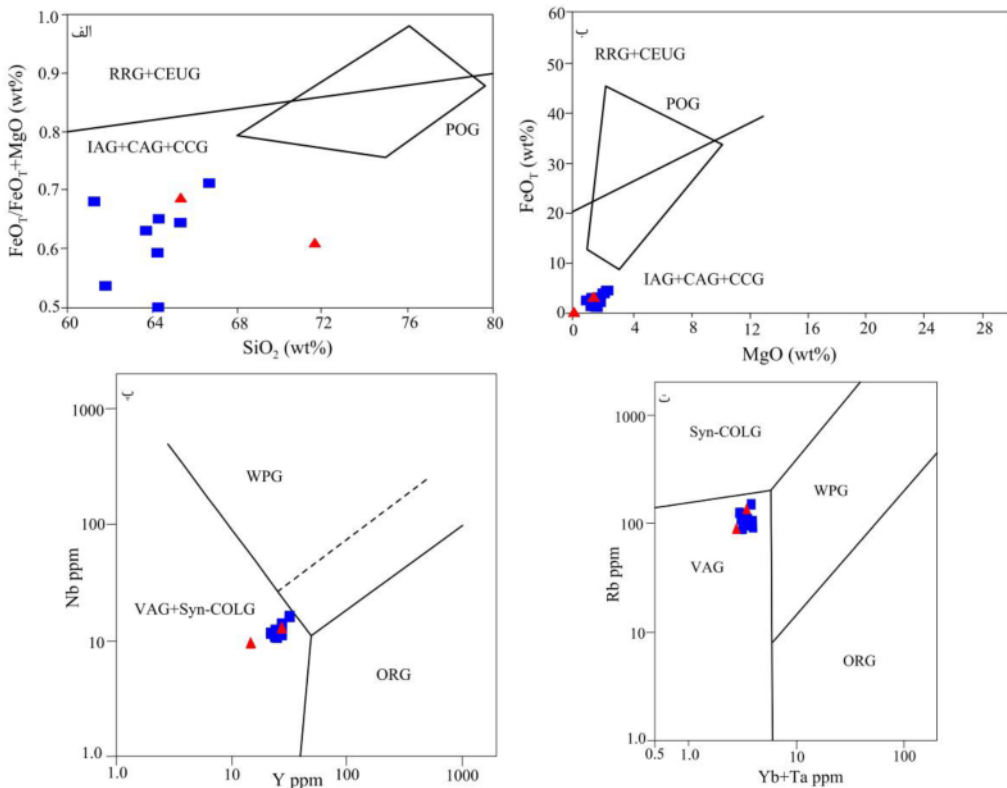
نمودارهای عناصر خاکی نادر بهنجار شده نسبت به کندریت [۱۹] و عناصر ناسازگار بهنجار شده نسبت به گوشته اولیه [۲۰]، کندریت [۲۱] و پوسته زیرین [۲۲] برای نمونه‌های توده نفوذی نوکه رسم شد (شکل‌های ۶ الف تا ت). نمودار شکل ۶ الف نشانگر روندی یکنواخت، مسطح و به طور کلی الگوی جدایش نیافته در توزیع عناصر خاکی نادر سنگین (HREEs) است، در حالی که عناصر خاکی نادر سبک (LREEs) غنی‌شدگی و جدایش یافتگی را نشان می‌دهند. این غنی‌شدگی می‌تواند نشان‌دهنده بالا بودن نسبت $\text{CO}_2/\text{H}_2\text{O}$ در خاستگاه، عمق بیشتر تولید magma، درجات کم ذوب‌بخشی منبع گوشته‌ای در حدود ۲/۵ درصد، درجه جدایش زیاد و آلایش magma به وسیله مواد پوسته‌ای [۲۴، ۲۳] یا خاستگاه نسبتاً غنی از عناصر قلیایی وابسته به مناطق فروزانش باشد [۲۵]. شکل‌های ۶ ب و



شکل ۶ نمودارهای فراوانی نمونه‌های توده نفوذی نوکه برای (الف) عناصر خاکی نادر بهنجار شده نسبت به کندریت [۱۹]، (ب) عناصر ناسازگار شده نسبت به گوشته اولیه [۲۰]، (پ) عناصر ناسازگار بهنجار شده نسبت به کندریت [۲۱] و (ت) عناصر ناسازگار بهنجار شده نسبت به پوسته زیرین [۲۲]. نشانه‌ها مشابه شکل ۴ هستند.

خاستگاه و جایگاه زمین‌ساختی

برای بررسی جایگاه زمین‌ساختی توده نفوذی نوکه از نمودارهای شناسایی گوناگون استفاده شد. در نمودارهای درصد وزنی SiO_2 نسبت به $\text{FeO}_{\text{T}}/\text{FeO}_{\text{T}}+\text{MgO}$ و MgO نسبت به FeO_{T} [۱۵]، نمونه‌های مورد بررسی در ردۀ IAG+CAG+CCG (گرانیتوئیدهای کوه‌زایی) جای گرفته‌اند که با آهکی قلیایی بودن و نبود کانی‌های پیروکسن و آمفیبول‌قلیایی در نمونه‌های مورد بررسی همخوانی دارد [۳۵] (شکل-۷ الف و ب). در شناسایی انواع گرانیتوئیدهای کوه‌زایی، براساس نمودار Y نسبت به Nb [۳۱]، نمونه‌های مورد بررسی در گستره VAG+Syn-COLG (گرانیتوئیدهای کمان آتشفسانی) از گستره آتشفسانی و همزمان با برخورد (الف) یا گرفته‌اند (ب). همچنین به منظور جدایش گرانیتوئیدهای کمان آتشفسانی از گرانیتوئیدهای همزمان با برخورد، از نمودار Yb+Ta نسبت به Rb [۳۱] استفاده شد. به این ترتیب، نمونه‌های مورد بررسی در گستره VAG (گرانیتوئیدهای کمان آتشفسانی) جای گرفته‌اند (شکل ۷ ت).



شکل ۷ جایگاه زمین‌ساختی توده نفوذی نوکه در نمودارهای شناسایی گرانیتوئیدها (الف و ب) نسبت $\text{FeO}_{\text{T}}/\text{FeO}_{\text{T}}+\text{MgO}$ و MgO نسبت به SiO_2 به گرانیتوئیدهای جزایر قوسی؛ Nb نسبت به Y و Rb نسبت به $\text{Yb}+\text{Ta}$ نسبت به کافت؛ گرانیتوئیدهای پساکوه‌زایی؛ گرانیتوئیدهای از نوع خشکی زایی قاره‌ای؛ گرانیتوئیدهای برخورد قاره‌ای؛ گرانیتوئیدهای پساکوه‌زایی؛ گرانیتوئیدهای اقیانوسی؛ گرانیتوئیدهای همزمان با برخورد.

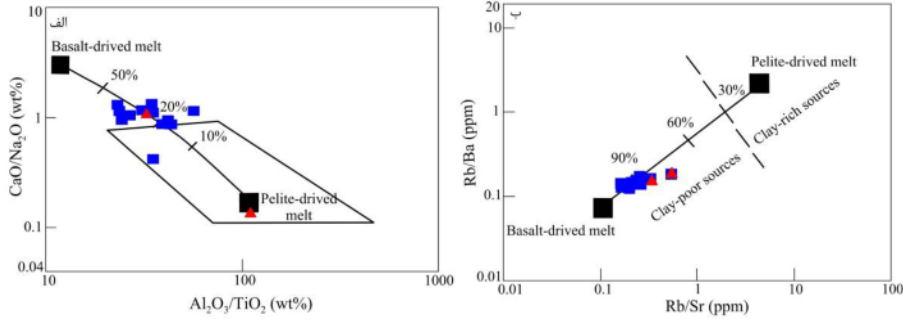
نمودار شکل ۶ ت به طور کلی روندی خطی به موازات خط ۱ را برای هر دو گروه از عناصر خاکی نادر و ناسازگار نشان می‌دهد و می‌تواند نشانگر احتمال شکل‌گیری توده نفوذی نوکه از منبع پوسته زیرین باشد. از طرف دیگر، واقع نشدن در بالای خط ۱، حضور کانی‌های آمفیبول و کلینوپیروکسن در این سنگ‌ها و همراهی آن‌ها با سنگ‌های گابرویی می‌تواند دخیل بودن آمیختگی مقداری از مواد گوشه‌ای را نیز در تشکیل این سنگ‌ها نشان دهد. ماهیت سنگ‌های نفوذی با غنی‌شدگی از LREE/HREEs و Rb، K، Th، U، Sr، Eu، Ti، Nb و نشانگر خاستگاه پوسته‌ای سنگ‌های توده Nb نوکه است. همچنین، ناهنجاری منفی عناصر و در این نمودارها می‌تواند نشانگر وابستگی سنگ‌های مورد بررسی به محیط وابسته به فرورانش نیز باشد [۳۳-۳۱]. ناهنجاری منفی Nb و Sr، همچنین ناهنجاری مثبت Th، La و Rb و پیوسته گرانیتوئیدهای آهکی قلیایی قوس آتشفسانی قاره‌ای است [۳۴].

گابرویی همخوانی دارد [۱۸].

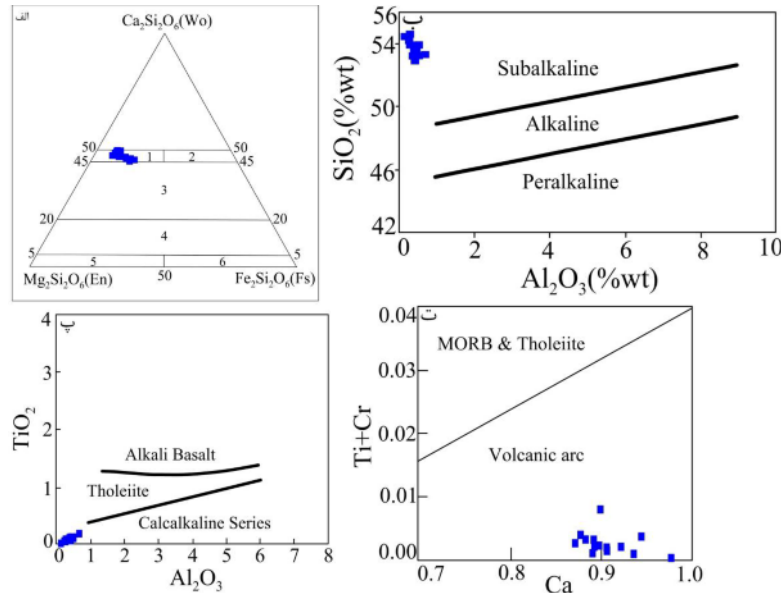
شیمی کانی

به منظور رده‌بندی، تعیین سری ماغماهی، دما، فشار و محیط زمین ساختی توده نفوذی نوکه از نتایج تجزیه نقطه‌ای عناصر اصلی کانی‌های کلینوپیروکسن، آمفیبول، بیوتیت و پلاژیوکلاز استفاده شد (شکل‌های ۹ تا ۱۴) [۱۴]. در سنگ‌های مورد بررسی، کانی کلینوپیروکسن به مقدار قابل توجه دیده می‌شود. پیروکسن‌ها را با توجه به قرارگیری کاتیون‌ها در جایگاه‌های M1 و M2 در فرمول عمومی آن‌ها ($M1M2T2O_6$) به گروه‌های مختلفی رده‌بندی می‌کنند. ترکیب شیمیایی CaO/Na_2O کلینوپیروکسن‌های توده نفوذی نوکه در نمودار مثلثی $Wo-Wo-En$ در گستره دیوبسید قرار می‌گیرند (شکل ۹ الف).

که با غنی‌شدگی عناصر Th, K, Rb و U و تهی شدگی عناصر Ta, Ti و Nb همخوانی دارد [۳۱]. برای بررسی خاستگاه ماقمای تشکیل دهنده توده نفوذی نوکه از نمودارهای درصد وزنی Al_2O_3/TiO_2 نسبت به درصد وزنی CaO/Na_2O و Rb/Sr نسبت به Rb/Ba استفاده شد (شکل‌های ۸ الف و ب). در شکل ۸ الف، خاستگاه ماقمای توده نفوذی برآمده از آمیختگی دو تشکیل دهنده پلیتی و بازالتی با حدود ۵۰ تا ۲۰ درصد بازالت بوده در حالی که در شکل ۸ ب، آمیزه در بردارنده حدود ۹۰ درصد بازالت است. از مجموع این دو نمودار می‌توان نتیجه گرفت که ماقمای تشکیل دهنده توده نفوذی نوکه برآمده از ذوب‌بخشی ترکیبی از مواد گوشته‌ای و پوسته‌ای است. این امر با حضور کانی‌های آمفیبول و کلینوپیروکسن در این سنگ‌ها و همراهی آن‌ها با سنگ‌های



شکل ۸ جایگاه نمونه‌های توده نفوذی نوکه در نمودارهای سنگزایی [۳۶]: الف) Al_2O_3/TiO_2 نسبت به CaO/Na_2O و ب) Rb/Sr نسبت به Rb/Ba

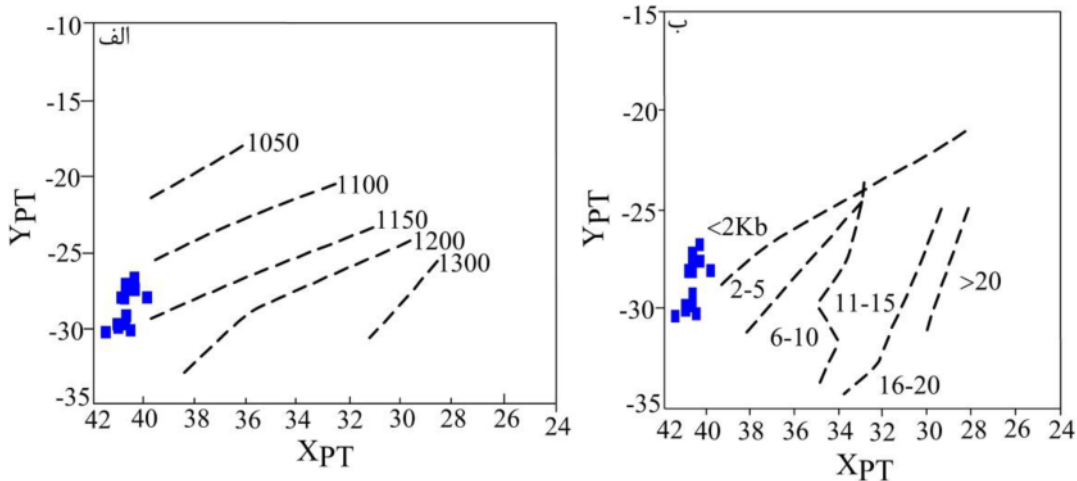


شکل ۹ الف) جایگاه ترکیبی کلینوپیروکسن‌های نمونه‌های کوارتزمنزونیتی توده نفوذی نوکه در نمودار مثلثی $Wo-En-Fs$ [۳۷]. گستره‌ها عبارتند از: ۱- دیوبسید، ۲- هدنبرژیت، ۳- اوژیت، ۴- پیزمینیت، ۵- کلینوانستاتیت و ۶- کلینوفروسیلیت. ب و پ) تعیین سری ماغماهی کلینوپیروکسن‌ها در نمودار Al_2O_3/TiO_2 نسبت به SiO_2 [۳۸] و پ) نمودار Al_2O_3/TiO_2 نسبت به Ca [۳۹]; ت) تعیین محیط زمین ساختی کلینوپیروکسن‌ها در نمودار Ca نسبت به $Ti+Cr$ [۴۰].

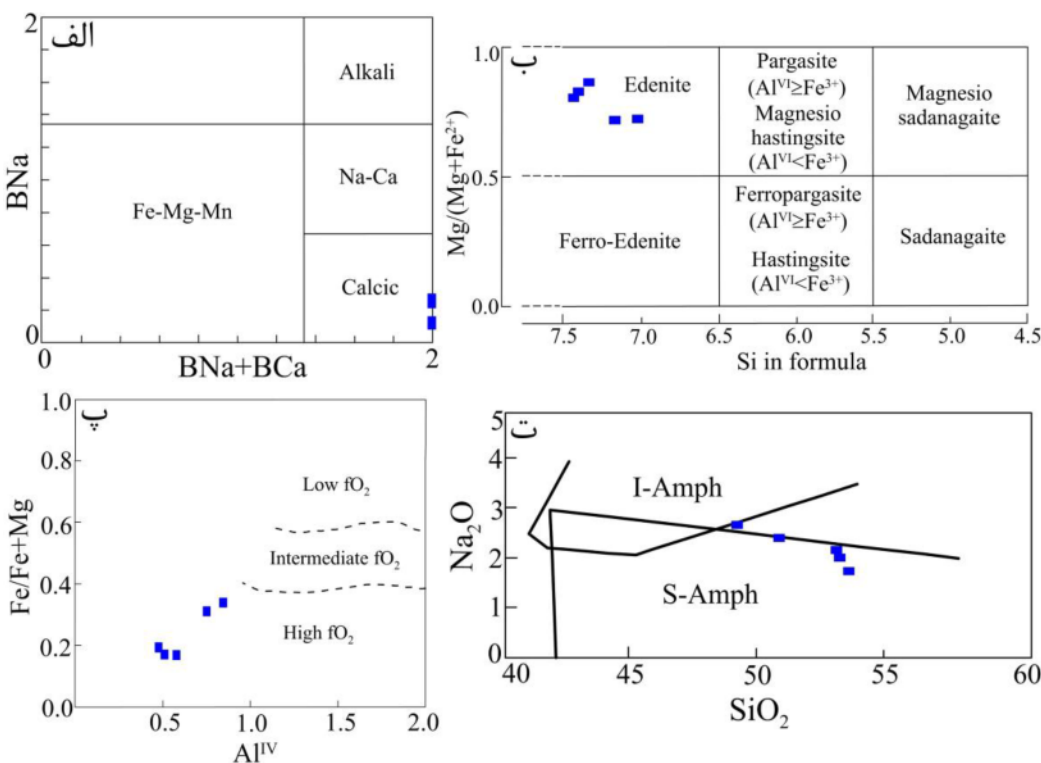
$Y_{PT} = -0.369 SiO_2 + 0.535 TiO_2 - 0.317 Al_2O_3 + 0.323 FeO + 0.235 MnO - 0.516 MgO - 0.167 CaO - 0.153 Na_2O$ - محاسبه می‌شوند، استفاده شد. براساس این نمودارها که برای تشکیل کانی کلینوپیروکسن در گستره دمایی ۱۰۵۰ تا ۱۳۰۰ درجه سانتیگراد و فشارهای در گستره کمتر از ۲ تا بیشتر از ۲۰ کیلوبار رسم شده‌اند، دمایی در حدود ۱۱۱۰ تا ۱۱۶۰ درجه سانتیگراد و فشاری کمتر از حدود ۲ تا ۴ کیلوبار (معادل عمق ۷ تا ۱۲ کیلومتر) برای کلینوپیروکسن‌های توده نفوذی نوکه به دست آمد.

آمفیبول‌های توده نفوذی نوکه، براساس ترکیب شیمیایی در شکل ۱۱ الف [۴۳] که این کانی را به ۴ نوع کلی کلسیمی، قلیایی، سدیم-کلسیم‌دار و آهن-منیزیم-منگنز‌دار تقسیم می‌کند، در گستره کلسیمی و در شکل ۱۱ ب [۴۴] که آمفیبول‌های کلسیمی را به گروههایی تقسیم می‌کند در گستره ادنیت قرار می‌گیرند. آمفیبول‌های کلسیمی شاخص توده‌های نفوذی نوع I هستند [۴۵]. گریزندگی اکسیژن در نمودار Al^{IV} نسبت به $Fe/Fe+Mg$ [۴۶] برای این آمفیبول‌ها در گستره گریزندگی بالای اکسیژن قرار می‌گیرد (شکل ۱۱ پ) که نشان دهنده تشکیل این توده نفوذی در ارتباط با مزهای ورقه‌های همگراست. محیط زمین ساختی این کانی در نمودار درصد وزنی SiO_2 نسبت به Na_2O [۴۷] که دو گستره آمفیبول‌های مناطق کششی درون صفحه‌ای و مناطق فرورانشی را از هم تفکیک می‌کند، تاحد زیادی در گستره فرورانش قرار می‌گیرد (شکل ۱۱ ت).

ترکیب کلینوپیروکسن‌ها به ترکیب شیمیایی و محیط تشکیل گدازه‌های میزان وابسته است، در نتیجه، این کانی کاربرد گسترده‌ای برای تشخیص محیط زمین ساختی تشکیل سنگ‌ها دارد. سری ماگمایی کلینوپیروکسن‌های نام برده در نمودارهای ۹ درصد وزنی Al_2O_3 نسبت به SiO_2 [۳۸] (شکل ۹ ب) و Al_2O_3 نسبت به TiO_2 [۳۹] (شکل ۹ ب) مشخص شد. براساس نمودار نخست که گستره‌های نیمه قلیایی، قلیایی و پرقلیایی را تفکیک می‌کند، این کلینوپیروکسن‌ها در گستره نیمه قلیایی واقع هستند و در نمودار دوم که تفکیک کننده گستره‌های سری‌های قلیایی، تولئیتی و آهکی قلیایی است، در گستره سری آهکی قلیایی واقع می‌شوند. محیط زمین ساختی این کانی‌ها در نمودار Ca نسبت به $Ti+Cr$ (شکل ۹ ت) [۴۰] که گستره مورب و تولئیتی را از کمان آتشفسانی تفکیک می‌کند، کمان آتشفسانی کرانه فعال قاره‌ای تعیین شد. ماهیت نیمه قلیایی، آهکی قلیایی، مقدار اندک Ti (۰/۰۰) و غنی شدگی از عناصر Ca (۰/۸۷-۰/۹۸) و Si (۰/۹۷-۲/۰۰) در ترکیب شیمیایی کلینوپیروکسن‌های مورد بررسی از ویژگی‌های پیروکسن‌های موجود در سنگ‌های گرانیتی کمان‌های آتشفسانی است که با قرار گرفتن نمونه‌ها در گستره گرانیت‌های کمان ماگمایی نیز سازگار است [۴۱]. سرانجام به منظور تعیین دما و فشار تشکیل این کلینوپیروکسن‌ها از نمودارهای شکل ۱۰ [۴۲] که بر اساس پارامترهای $X_{PT} = 0.446 SiO_2 + 0.187 TiO_2 - 0.404 Al_2O_3 + 0.346 FeO - 0.052 MnO + 0.309 MgO + 0.431 CaO - 0.446 Na_2O$



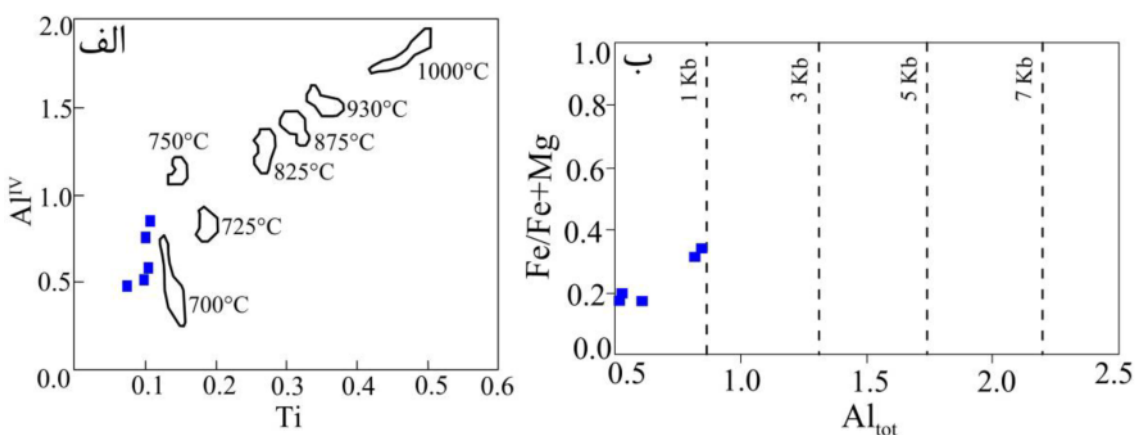
شکل ۱۰ نمودارهای X_{PT} نسبت به Y_{PT} برای تعیین دما و فشار تشکیل کلینوپیروکسن‌ها [۴۲].



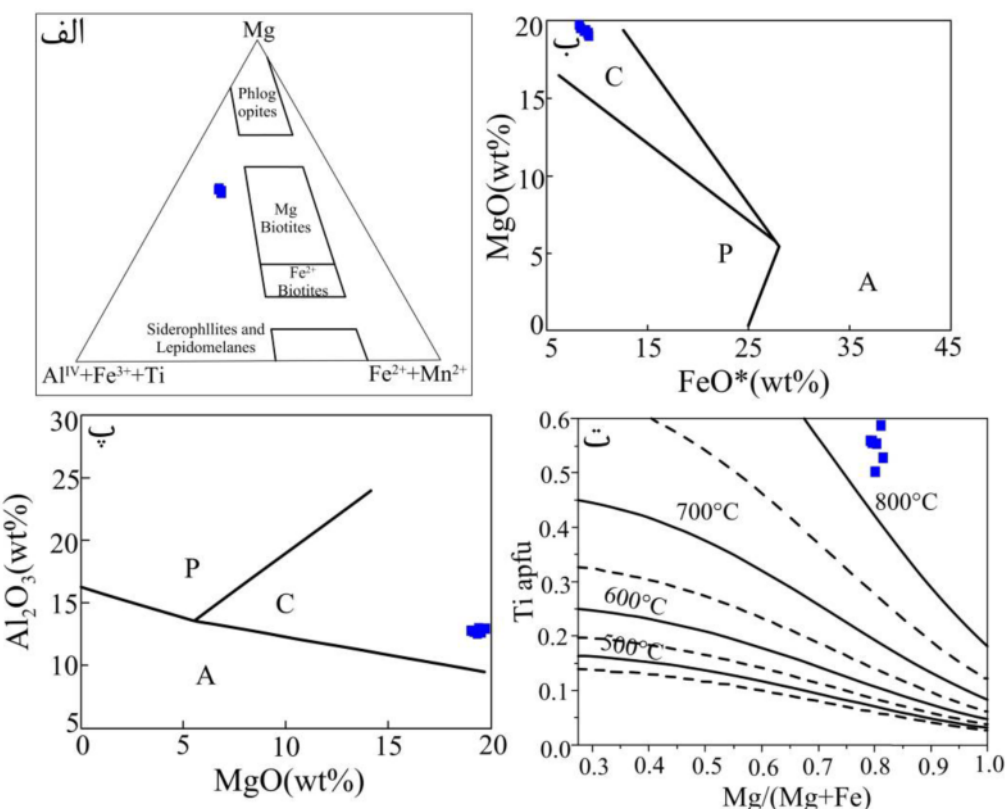
شکل ۱۱ (الف و ب) جایگاه ترکیبی آمفیبول‌های نمونه‌های کوارتزمنزونیتی توده نفوذی نوکه در نمودار $B_{Na}/(B_{Na}+BCa)$ نسبت به B_{Na} [۴۳] و نمودار Si نسبت به $Fe/(Fe+Mg)$ [۴۴]. (پ) تعیین میزان گریزندگی تشکیل آمفیبول‌های مورد بررسی در نمودار Al^{IV} نسبت به $Fe/(Fe+Mg)$ [۴۷]. (ت) تعیین محیط زمین‌ساختی آمفیبول‌های نوکه در نمودار درصد وزنی SiO_2 نسبت به Na_2O [۴۶].

نمودار مثلثی $Mg-Al^{IV}+Fe^{3+}+Ti-Fe^{2+}+Mn^{2+}$ [۵۱] که بر اساس مقادیر نسبی این کاتیون‌ها رسم شده است، نزدیک به گستره بیوتیت‌های منیزیم‌دار قرار می‌گیرند (شکل ۱۳ (الف)). در نمودارهای درصد وزنی FeO^* نسبت به MgO [۴۷] (شکل ۱۳ (ب)) و MgO نسبت به Al_2O_3 [۵۲] (شکل ۱۳ (پ)) که سه محیط زمین‌ساختی A (گرانیت‌های غیرکوهزایی قلیایی)، P (پرآلومین شامل گرانیت‌های برخوردي نوع S) و C (گرانیت‌های کوهزایی آهکی قلیایی) وابسته به فرورانش که شامل گرانیت‌های I می‌شوند) را برای کانی بیوتیت از هم تفکیک می‌کنند، بیوتیت‌های مورد بررسی در گستره آهکی قلیایی قرار می‌گیرند که این امر با نتایج برآمده از شیمی سنگ کل نمونه‌ها همخوانی دارد. دمای تبلور این بیوتیت‌ها در نمودار توصیفی دما‌سنگی براساس تغییرات $Ti/Mg+Fe$ نسبت به $Mg/Mg+Fe$ (شکل ۱۳ (ت)) بیش از ۸۰۰ درجه سانتیگراد است بررسی‌ها نشان می‌دهند که قلمرو پایداری بیوتیت‌های غنی از آلومینیوم در دماهای پایین بسیار گسترده است، در حالی که منطقه پایداری تیتانیوم و منیزیم با افزایش دما گسترش می‌یابد [۵۴].

آمفیبول‌های وابسته به مناطق فرورانش مقدار Na_2O و TiO_2 کمتری نسبت به انواع وابسته به مناطق کششی درون صفحه‌ای دارند [۴۷]. در ساختار آمفیبول‌ها، کاتیون‌هایی چون تیتانیوم، آلومینیوم چاروجهی و آلومینیوم کل نسبت به دما و فشار حساس هستند به طوری که افزایش دما سبب افزایش مقدار تیتانیوم و آلومینیوم چاروجهی و افزایش فشار نیز موجب افزایش مقدار آلومینیوم در ترکیب شیمیایی آمفیبول می‌شود [۴۸]. به منظور تعیین دما و فشار تشکیل این آمفیبول‌ها از دما‌سنگی Ti نسبت به Al^{IV} (شکل ۱۲ (الف)) [۴۹] و فشارسنگی کل Al نسبت به $Fe/(Fe+Mg)$ [۴۳] (شکل ۱۲ (ب)) استفاده شد. براساس این نمودارها، آمفیبول‌های توده نفوذی نوکه در دمایی نزدیک به ۷۰۰ درجه سانتیگراد و فشاری کمتر از ۱ کیلوبار تشکیل شده‌اند. بیوتیت مهم‌ترین میزان آلومینیوم اضافی در گرانیت‌های بدون کانی‌های آلومینوسیلیکات، گارنت و کردیریت است و بنابراین به طور مستقیم پرآلومین بودن مagma میزان را نشان می‌دهد [۵۰]. ترکیب شیمیایی بیوتیت‌های مورد بررسی در



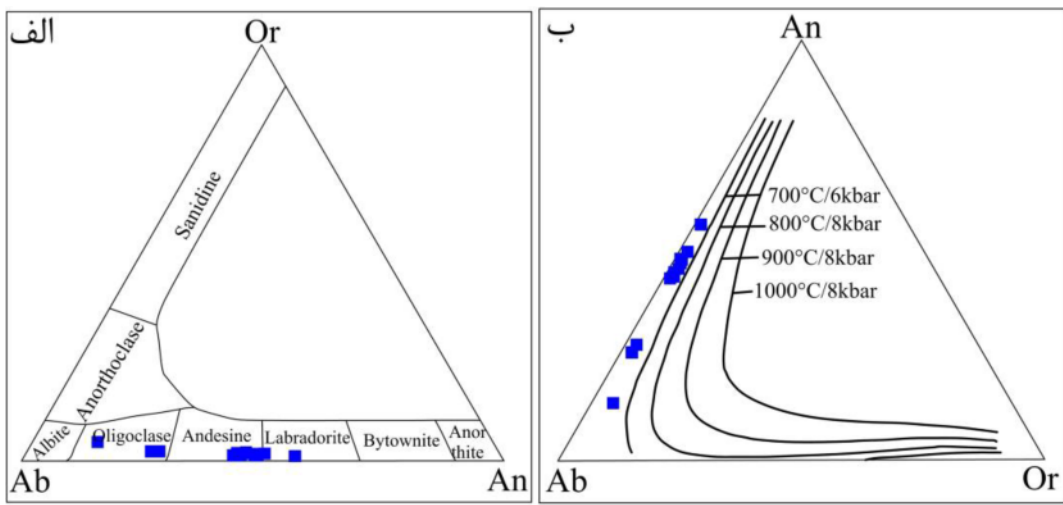
شکل ۱۲ (الف) تعیین دمای تشكیل آمفیبول‌های توده نفوذی نوکه در نمودار Ti نسبت به Al^{IV} [۴۹] و (ب) تعیین فشار تشکیل این کانی در نمودار Al_{tot} نسبت به $\text{Fe}/(\text{Fe}+\text{Mg})$ [۴۶].



شکل ۱۳ (الف) تعیین ترکیب شیمیایی بیوتیت‌های توده نفوذی نوکه در نمودار مثلثی $\text{Mg}-\text{Al}^{\text{IV}}+\text{Fe}^{3+}+\text{Ti}-\text{Fe}^{2+}+\text{Mn}^{2+}$ [۵۱]. (ب) و (پ) تعیین محیط زمین ساختی این کانی در نمودارهای درصد وزنی Al_2O_3 [۵۲] و MgO نسبت به FeO^* [۵۲]. (ت) تعیین دمای تشكیل این کانی در نمودار $\text{Mg}/(\text{Mg}+\text{Fe})$ نسبت به Ti apfu [۵۳].

تشکیل این کانی در توده نفوذی نوکه استفاده شد (شکل ۱۴). در نمودار مثلثی Ab-An-Or (An=۱۳/۵۸-۵۶/۱۱) در گستره الیگوکلاز، آندزین و لابرادوریت [۵۵] (شکل ۱۴ الف) و دمای تشكیل آن کمتر از ۷۰۰ درجه سانتیگراد تعیین شد [۵۶] (شکل ۱۴ ب).

پلازیوکلازها به عنوان فراوان‌ترین کانی‌های سنگساز سنگ‌های آذرین، سری محلول جامدی را بین دو قطب آلبیت به فرمول $\text{NaAlSi}_3\text{O}_8$ و آنورتیت به فرمول $\text{CaAl}_2\text{Si}_2\text{O}_8$ تشکیل می‌دهند که از سیلیکات‌های داربستی هستند. از شیمی کانی پلازیوکلاز به منظور تعیین ترکیب شیمیایی و دمای



شکل ۱۴ (الف) تعیین ترکیب شیمیایی پلاژیوکلازهای نفوذی توده نفوذی نوکه در نمودار مثلثی Or-Ab-An [۵۵]. ب) تعیین دما و فشار تشکیل این کانی در نمودار مثلثی An-Ab-Or [۵۶].

گرفت که ماقمای تشکیل دهنده توده نفوذی نوکه برآمده از ذوب‌بخشی ترکیبی از مواد گوشه‌ای و پوسته‌ای است.

(۶) ترکیب شیمیایی کلینوپیروکسن‌های این توده نفوذی در حد دیوپسید است و در دمایی حدود ۱۱۰۰ تا ۱۱۶۰ درجه سانتیگراد و فشاری کمتر از حدود ۲ تا ۴ کیلوبار تشکیل شده‌اند.

(۷) آمفیبول‌های توده نفوذی نوکه از نوع ادنیت و در گستره گریزندگی بالای اکسیژن و وابسته به منطقه فرورانش هستند. این کانی‌ها در دمایی نزدیک به ۷۰۰ درجه سانتیگراد و فشاری کمتر از ۱ کیلوبار تشکیل شده‌اند.

(۸) بیوتیت‌ها نزدیک به گستره بیوتیت‌های منیزیم‌دار و آهکی قلیایی قرار می‌گیرند. دمای تبلور این کانی‌ها بالای ۸۰۰ درجه سانتیگراد برآورد می‌شود.

(۹) ترکیب شیمیایی پلاژیوکلازها از $An=13/58$ تا $An=56/11$ متغیر است و در گستره الیگوکلاز، آندزین و لاپرادوریت قرار می‌گیرند و دمای تشکیل آن‌ها کمتر از ۷۰۰ درجه سانتیگراد تعیین شد.

قدردانی

نویسنده‌گان مقاله از حوزه معاونت پژوهشی دانشگاه‌های لرستان و صنعتی شاهرود به سبب حمایت‌های مالی و معنوی از انجام این پژوهش قدردانی می‌کنند.

برداشت

(۱) بر پایه بررسی‌های سنگنگاری، ترکیب توده نفوذی نوکه مونزونیت-کوارتز‌مونزونیت و گرانیت-گرانودیوریت است و پلاژیوکلاز، ارتوکلاز و کوارتز کانی‌های اصلی و بیوتیت، آمفیبول و کلینوپیروکسن کانی‌های فرعی سازنده آن هستند. بافت غالب در این سنگ‌ها، دانه‌ای بوده و بافت‌هایی چون گرانوسوفیری و میرمکیتی به عنوان بافت فرعی در آن حضور دارند.

(۲) در نمودار رده‌بندی SiO_2 - Na_2O+K_2O نسبت به شیمیایی نمونه‌های بررسی شده در گستره مونزونیت-کوارتز‌مونزونیت و گرانیت-گرانودیوریت قرار می‌گیرند.

(۳) از دیدگاه شاخص اشباع آلومینیوم، سنگ‌های بررسی شده از نوع متاآلومین تا پرآلومین هستند.

(۴) سری ماقمایی سازنده توده نفوذی بررسی شده نیمه قلیایی و آهکی قلیایی بوده و در پهنه کمان آتشفسانی کرانه فعال قاره‌ای پدید آمده است.

(۵) غنی‌شدنی LREE/HREE، همچنین ناهنجاری مثبت عناصری چون La و Rb در کنار ناهنجاری منفی عناصری چون Ti, P, Nb نشانگر پهنه فعال کرانه قاره‌ای و تشکیل ماقمای سازنده توده نفوذی از پوسته قاره‌ای زیرین است؛ همچنین می‌توان آمیختگی مقداری از مواد گوشه‌ای را در تشکیل این سنگ‌ها دخیل دانست بطوری که می‌توان نتیجه

مراجع

- rocks", Canadian Journal of Earth Sciences 8 (1971) 523.*
- [14] Chappell B. W., White A. J. R., "Two contrasting granite types", Pacific Geology 8 (1974) 173-174.
- [15] Maniar P. O., Piccoli P. M., "Tectonics discrimination of granitoids", Geological Society of America Bulletin 101 (1989) 635-643.
- [16] Chappell B. W., Bryant C. J., Wyborn D., "Peraluminous I-type granites", Lithos 153 (2012) 142-153.
- [17] Furnes H., El-Sayed M. M., Khalil S. O., Hassanen M. A., "Pan-African magmatism in the Wadi-El-Imra district, Central Desert, Egypt: Geochemistry and tectonic environment", Journal of the Geological Society 153 (1996) 705-718.
- [18] Chappell B. W., White A. J. R., "I-and S-type granites in the Lachlan Fold Belt", Transactions of the Royal Society of Edinburgh Earth Sciences 83 (1992) 1-26.
- [19] Boynton W. V., "Geochemistry of the rare earth elements: meteorite studies", Elsevier (1984) 63-114.
- [20] Sun S. S., McDonough W. F., "Chemical and isotopic systematic of oceanic basalts: implications for mantle composition and processes", Geological Society Special Publications 42 (1989) 313-345.
- [21] Thompson R. N., "British tertiary volcanic province", Scottish journal of geology 18 (1982) 49-107.
- [22] Weaver B., Tarney J., "Empirical approach to estimating the composition of the continental crust", Nature 310 (1984) 575-57.
- [23] Wass S. Y., Roger N. W., "Mantle metasomatism precursor to alkaline continental volcanism", Geochimica et cosmochimica acta 44 (1980) 1811-1823.
- [24] Srivastava R. K., Singh R. K., "Trace element geochemistry and genesis of Precambrian subalkaline mafic dykes from the central Indian craton: evidence for mantle metasomatism", Journal of Asian Earth Sciences 23 (2004) 373-389.
- [25] Parada M. A., Nystrom J. O., Levi B., "Multiple source for the coastal batholith of central Chile: geochemical a Sr-Nd isotopic

- [1] Nabavi M. H., "An Introduction to the Geology of Iran", Geological Survey of Iran (1976) 109 pp (in Persian).
- [2] Samadi M., "Petrography, petrogenesis and geochemistry of igneous rocks, in the region north to northeast of semnan", MSc Thesis, Teacher Training University of Tehran, Tehran, Iran (1998) (in Persian).
- [3] Shahhosseini E., "Petrology, geochemistry and mineralization potential of igneous rocks in north-northeast semnan", MSc Thesis, Shahrood University of Technology, Shahrood, Iran (2007) (in Persian).
- [4] Ghiasvand A. R., "Mineralogy, geochemistry and origin of iron deposits in north of semnan", MSc Thesis, Tarbiat Modarres University, Tehran, Iran (2005) (in Persian).
- [5] Alavi Naini M., "Etude geologique de la region de djam", Geological Survey of Iran Number 23 (1972) 288p.
- [6] Alavi Naini M., "Geological map of Iran, 1:100000 series Jam sheet", Geological Survey of Iran, Tehran (1996) (in Persian).
- [7] Eftekhar Nazhad J., "Tectonic classification of Iran in relation to depositional basins", Journal of Iranian Petroleum Society 82 (1980) 19–28 (in Persian).
- [8] Eftekhar Nazhad J., "Geology of Iran and adjacent countries", (1993) 150p (in Persian).
- [9] Nabavi M. H., "Geological map of Iran, 1:100000 series Semnan sheet", Geological Survey of Iran, Tehran (1987) (in Persian).
- [10] Kamran S., Petrology and isotope geochemistry of igneous rocks in the north-northeast of semnan (Central Iran)", Phd Thesis, Lorestan University, Khorram Abad, Iran (2018) (in Persian).
- [11] Middlemost E. A. K., "Naming materials in the magma/igneous rock system", Earth Science Reviews 37 (1994) 215-224.
- [12] Oconnor J. T., "A classification for quartz-rich igneous rocks based on feldspar ratios", United States Geological Survey Professional Papers 525-B (1965) 79-84.
- [13] Irvine T. N., Baragar W. R. A., "A guide to the chemical classification of the common volcanic

- [39] Nisbet E. G., Pearce J. A., "Cclinopyroxene composition in mafic lavas from different tectonic settings", Contributions to Mineralogy and Petrology 63 (1977) 149-160.
- [40] Leterrier J., Maury R. C., Thonon P., Girard D., Marchal M., "Cclinopyroxene composition as a method of identification of the magmatic affinities of paleo-volcanic series", Earth and Planetary Science Letters 59 (1982) 139-154.
- [41] Beccaluva L., Macciotta G., Piccardo G. B. Zeda O., "Cclinopyroxene composition of ophiolite basalts as petrogenetic indicator", Chemical Geology 77 (1989) 165-182.
- [42] Soesoo A., "A multivariate statistical analysis of clinopyroxene composition: empirical coordinates for the crystallisation PT-estimations", Geological Society of Sweden (Geologiska Foreningen) 119 (1997) 55-60.
- [43] Deer W. A., Howie R. A., Zussman J., *An introduction to the rock forming minerals*, Longman Scientificand Technical (1991) 528p.
- [44] Leake B. E., Woolly A. R., Arps C. E. S., *Nomenclature of Amphiboles*, European Journal of Mineralogy 9 (1997) 623-651.
- [45] Stein E., Dietl C., "Hornblende thermobarometry of granitoids from the central Odenwald(Germany) and their implications for geotectonic development of the Odenwald", Mineralogy and Petrology 72 (2001) 185-207.
- [46] Anderson J. L., Smith D. R., "The effects of temperature and FO_2 on the Al- in hornblende barometer", American Mineralogist 80 (1995) 549-559.
- [47] Coltorti M., Bonadiman C., Faccini B., Gregoire M., Oreilly S. Y., Powell W., "Amphiboles from suprasubduction and intraplate lithospheric mantle", Lithos 99 (2007) 68-84.
- [48] Hammarstrom J. M., Zen E., "Aluminum in hornblende: An empirical igneous geobarometer", American Mineralogist 71 (1986) 1297-1313.
- [49] Helz R. T., "Phase relations of basalts in their melting range at $P_{H2O} = 5kb$. Part 2: Melt evidence and tectonic implication", Lithos 46 (1999) 505-521.
- [26] Saunders A. D., Story M., Kent R., Norry M. J., "Consequence of plume lithosphere interactions", Geological Society of London Special Publications 68 (1992) 41-60.
- [27] Nagudi N., Koberl Ch., Kurat G., "Petrography and geochemistry of the sigo granite, Uganda and implications for origin", Journal of African Earth Sciences 36 (2003) 1-14.
- [28] Rollinson H. R., "Using geochemical data: evaluation, presentation, interpretation", Longman Scientific and Technical (1993).
- [29] Harris C., "The petrology of lavas and associated plutonic inclusions of Ascension Island", Journal of petrology 24 (1983) 424-470.
- [30] Harris N. B. W., Pearce J. A., Tindle A. G., "Geochemical characteristics of collision zone magmatism", Geological society of london special publications 19 (1986) 67-81.
- [31] Pearce J. A., Harris N. B. W., Tindle A. G., "Trace element discrimination diagrams for the tectonic interpretation of granitic rocks", Journal of Petrology 25 (1984) 956-983.
- [32] Wilson M., "Igneous petrogenesis a global tectonic approach", Unwin Hyman Ltd, London (1989) 466p.
- [33] Sajona F. G., Maury R. C., Bellon H., Cotton J., Defant M., "High field strength element enrichment of Pliocene-Pleistocene Island arc basalts, Zamboanga Peninsula, western Mindanao (Philippines)", Journal of Petrology 37 (1996) 693-726.
- [34] Harris N. B. W., Inger S., "Trace element modelling of pelite-derived granites", Contributions to Mineralogy and Petrology 110 (1992) 46-56.
- [35] Middlemost E. A. K., "Magmas and magmatic rocks: an introduction to igneous petrology", Addison-Wesley Longman Ltd (1985).
- [36] Sylvester P. J., "Post-collisional strongly peraluminous granites", Lithos 45 (1998) 29-44.
- [37] Morimoto N., "Nomenclature of pyroxenes", American Mineralogist 73 (1988) 1123-1133.
- [38] Lebas M. J., "The role of aluminum in igneous clinopyroxenes with relation to their parentage", American Journal of Science 260 (1962) 267-288.

- geothermometry and Ti-substitution mechanisms", American Mineralogist 90 (2005) 316-328.*
- [54] Patino Douce A. E., *Titanium substitution in biotite: an empirical model with applications to thermometry, O₂ and H₂O barometries and consequences form biotite stability", Chemical Geology 108 (1993) 133-162.*
- [55] Deer W. A., Howie A., Zussman J., *An introduction to the rock-forming minerals*, 17th ed, Longman Ltd (1986) 528p.
- [56] Raasei P., *Feldspar thermometry: A valuable tool for deciphering the thermal history of granulite-facies rocks, as illustrated with metapelites from srilanka", Canadian Mineralogist 36 (1998) 67-86.*
- compositions", Journal of Petrology 17 (1976) 139-193.*
- [50] Lalonde A. E., Bernard P., *Composition and color of biotite from granites: two useful properties in the characterization of plutonic suites from the Hepburn interval zone of Wopmay orogen, Northwest Territories", Canadian Mineralogist 31 (1993) 203-217.*
- [51] Foster M. D., *Interpretation of the composition of trioctahedral micas", U.S Geological Survey Professional Paper 354 (1960).*
- [52] Abdel-Rahman A. M., *Nature of biotites from alkaline, calc-alkaline and peraluminous magmas", Journal of Petrology 35 (1994) 525-541.*
- [53] Henry D. J., Thomson J. A., *The Ti-saturation surface for low-to-medium pressure metapelite biotites: Implications for*